

放射光X線応力測定の 基礎と実用例

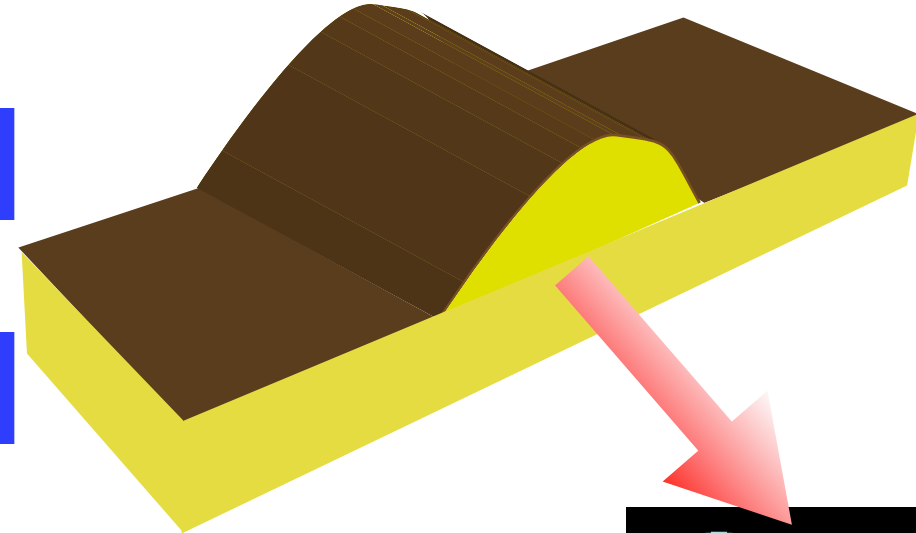
新潟大学 鈴木賢治

2010/8/26

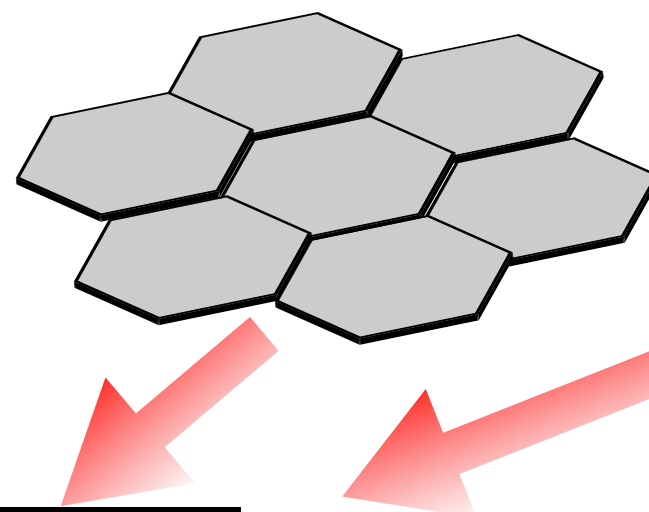
SPring-8金属材料評価研究会 (第3回:ひずみ・応力分布測定の新手法)
ゆうぽうと 7F 福寿 (技術交流会: 7F 末広)

1. 新しい光源 シンクロトロン放射光, 中性子

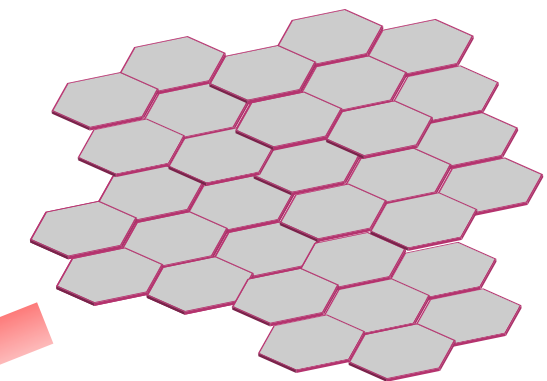
溶接



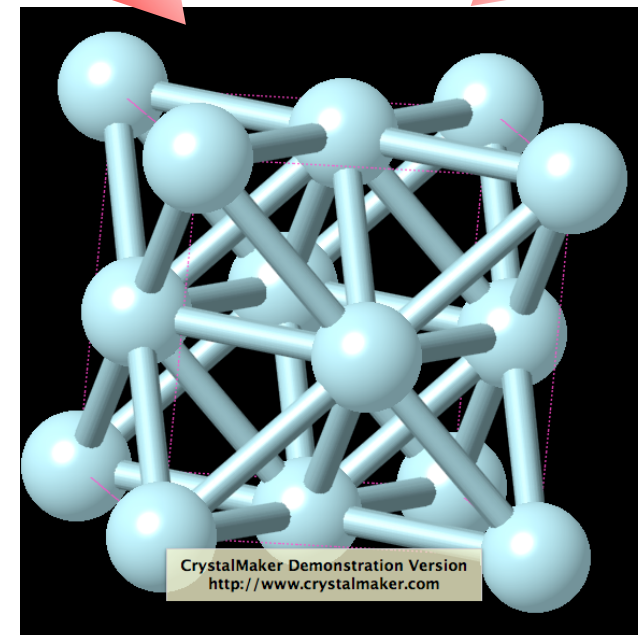
粗大粒



均質等方多結晶体



結晶

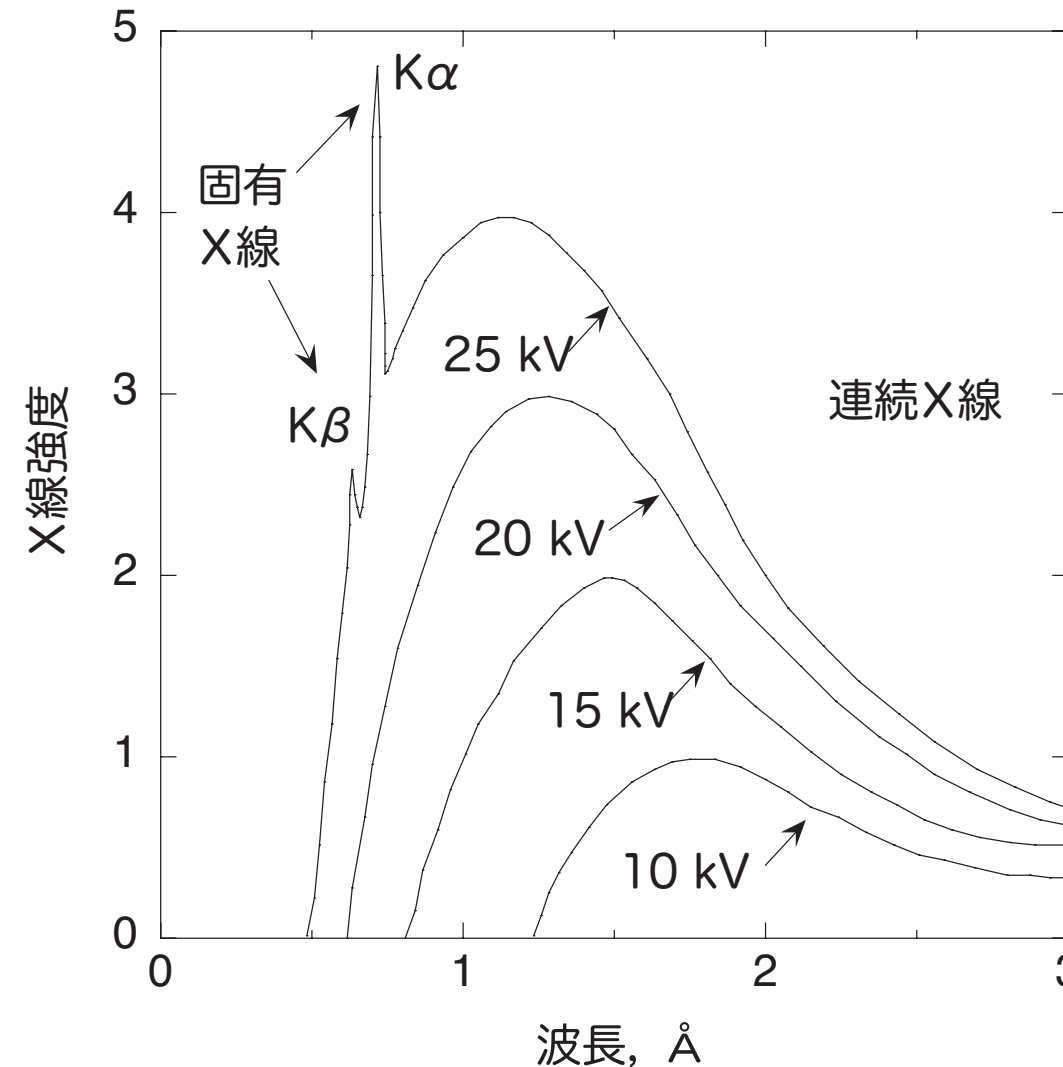
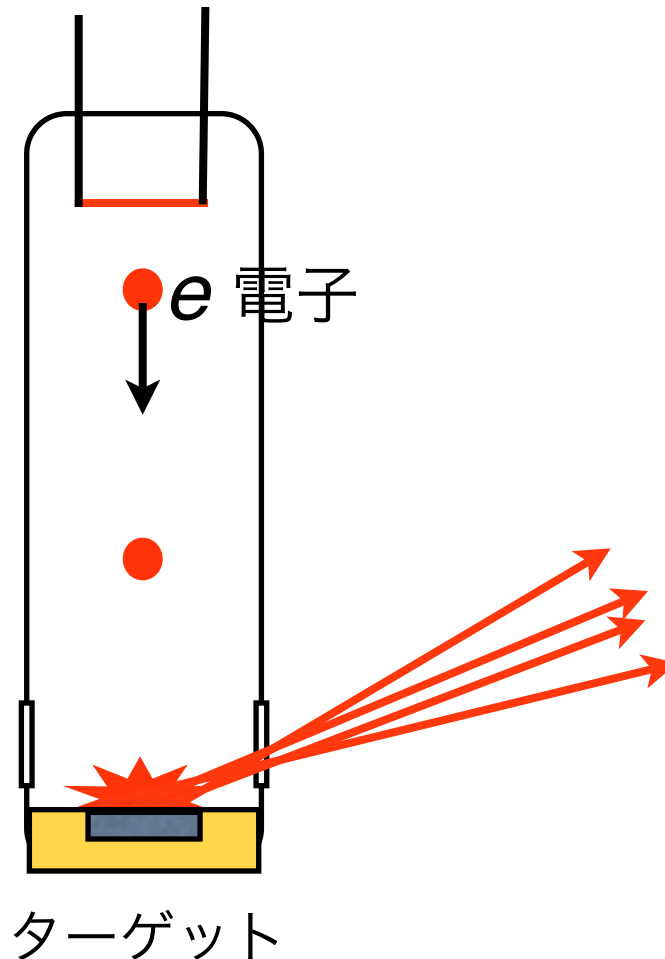


格子間距離

高エネルギー放射光, 2次元検出器



ラボ X 線 X 線管球



波長分布 (ノイズ)
低強度
指向性悪い

シンクロトロン放射光

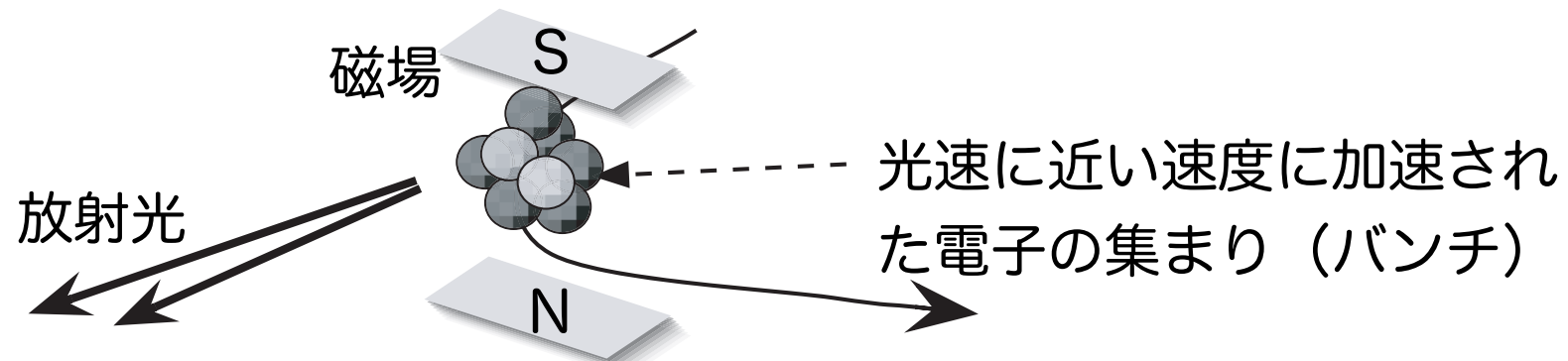


2002年10月11日撮影

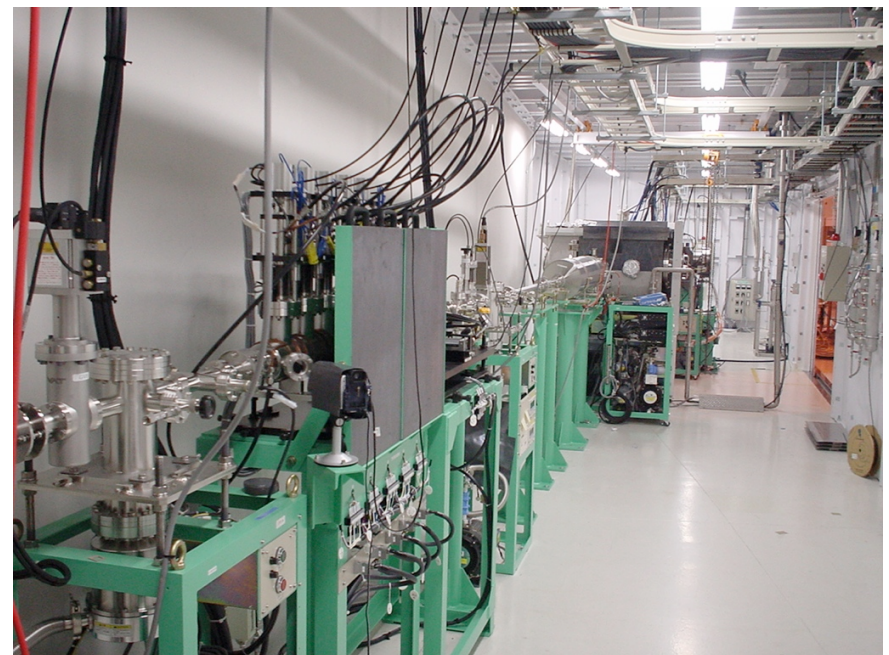


SPring-8 全景

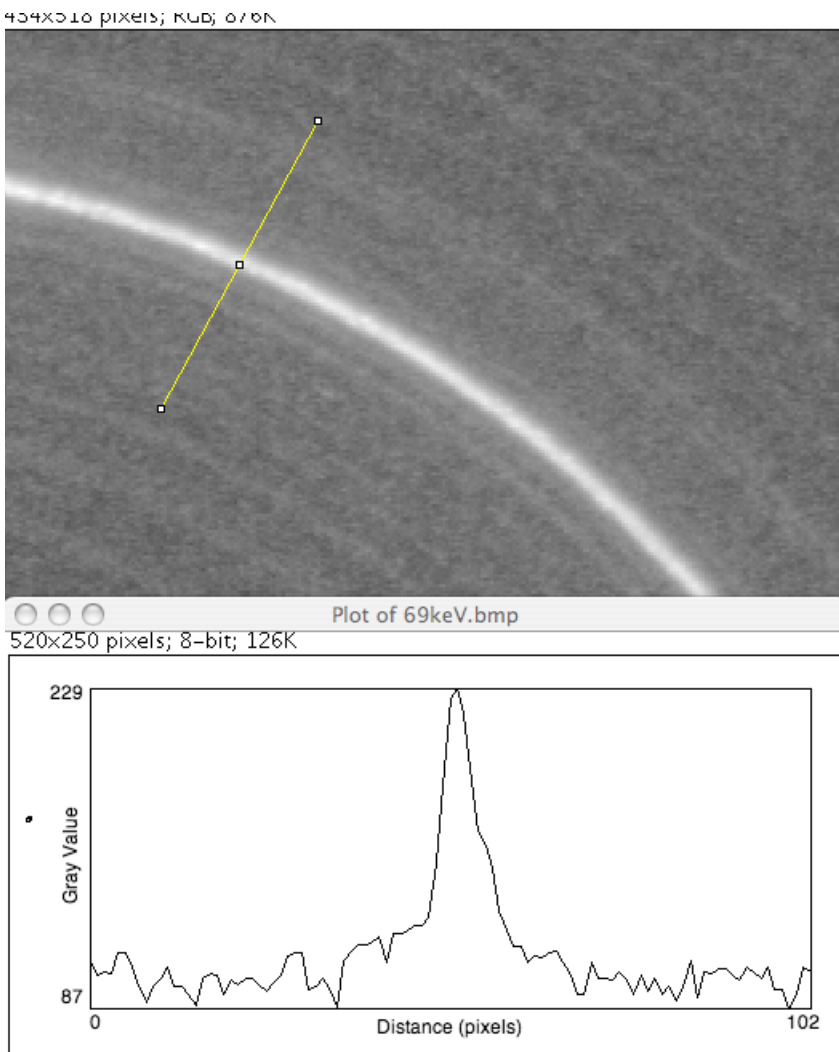
SPring-8の実験ハッチ



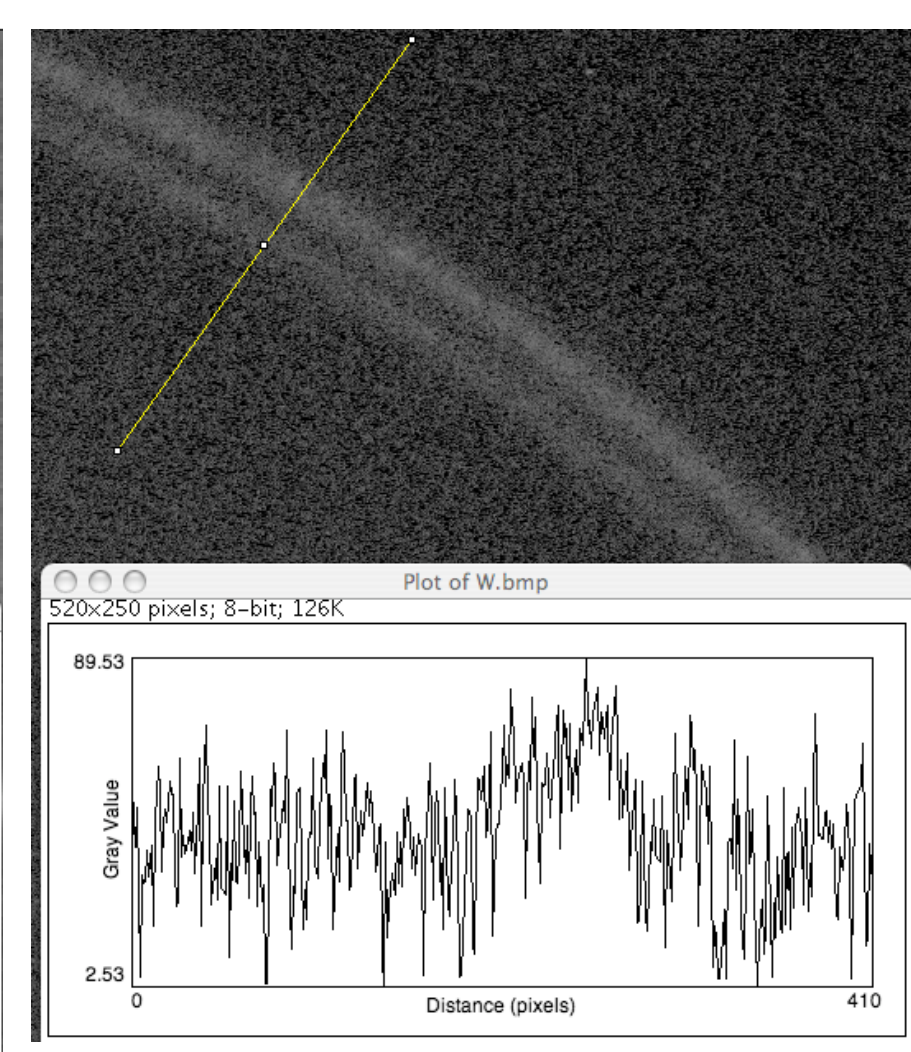
放射光の調整



光学ハッチ



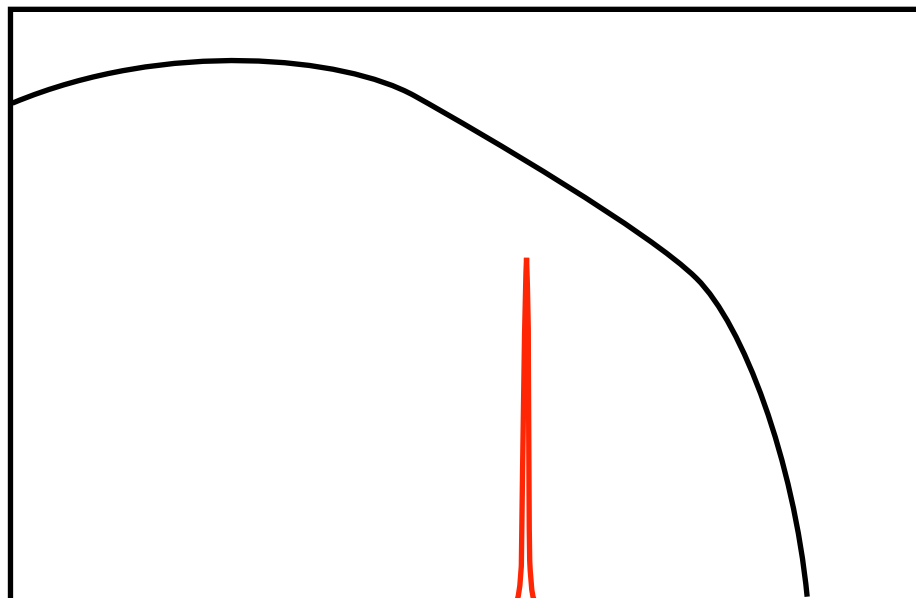
放射光



ラボ X 線

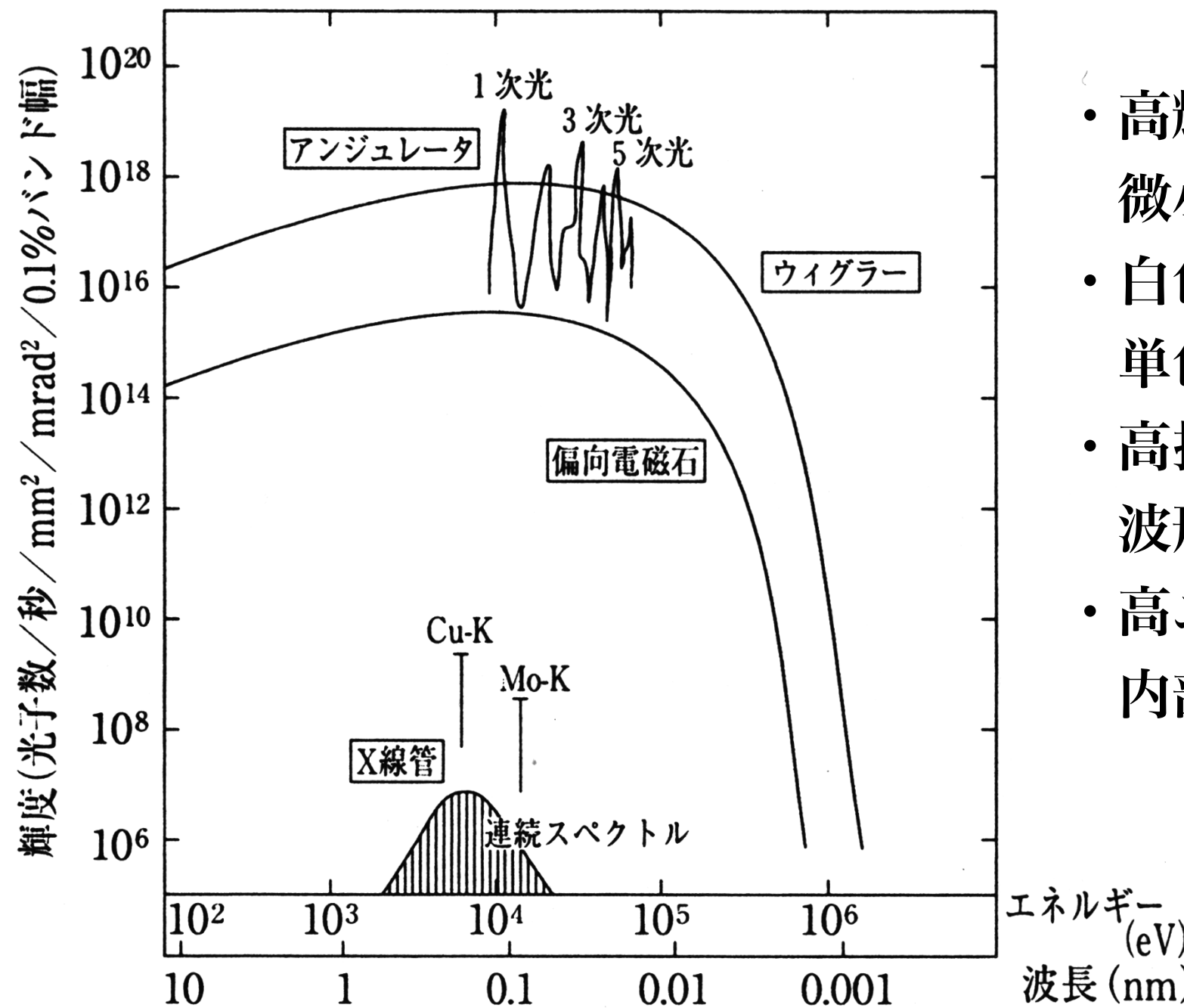


分光器



分光器による単色化

SPring-8 (Super Photon Ring 8 GeV)



- 高輝度光
微小領域, 薄膜
- 白色X線
単色X線, エネルギー分散法
- 高指向性
波形分離, 測定精度
- 高エネルギーX線
内部応力

中性子



ド・ブロイ波

$$\lambda = \frac{h}{m v} = \frac{395.6}{v \text{ [m/s]}} \text{ [nm]}$$

中性子もその速度に応じて波動として振る舞う。

中性子源として、

- ・核分裂による中性子=原子炉
- ・核破碎による中性子=高強度陽子加速器



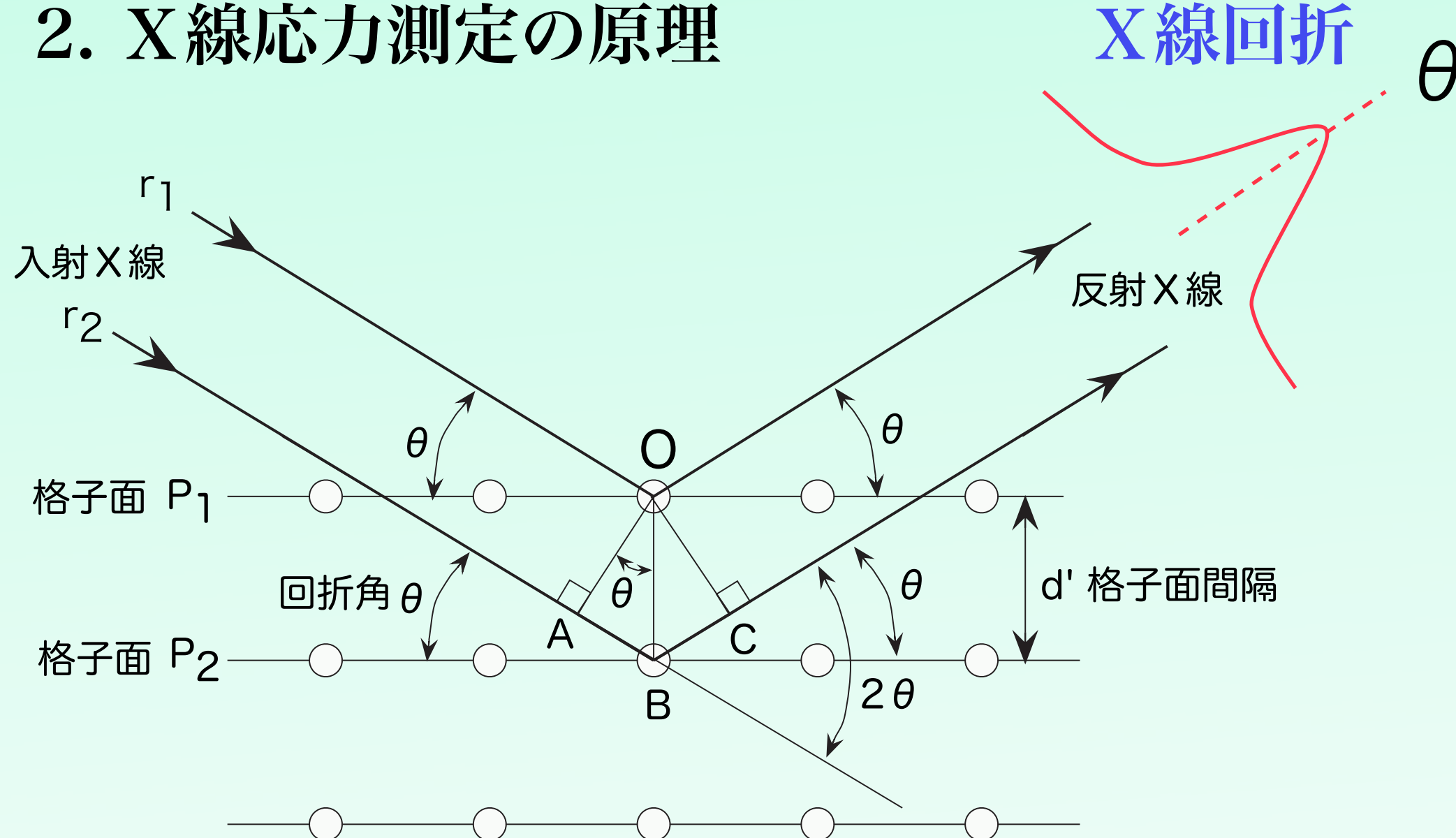
J-PARC

X線, 放射光および中性子の侵入深さ

	対象材料中への減衰距離, mm				
光源, keV	Al	Ti	Fe	Ni	Cu
Cu-K α (8)	0.074	0.011	0.004	0.023	0.022
放射光 (40)	6.5	1.0	0.35	0.24	0.23
放射光 (70)	15.4	3.8	1.4	1.0	1.3
放射光 (150)	27	13	6	5	5
熱中性子	1230	50	85	40	53

表面から内部=高エネルギー放射光
深部の応力=中性子回折

2. X線応力測定の原理



$$AB = d \sin \theta$$

$$\text{光路差} = AB + BC = 2 d \sin \theta$$

波長: λ

$$\lambda = 2 d \sin \theta \text{ (ブラック条件)}$$

$$\text{格子面間隔 } d = \lambda / 2 \sin \theta$$

$$\varepsilon = (d - d_0) / d_0$$

d_0 : 無ひずみの回折角

3. ひずみキャニング法

高エネルギー

放射光

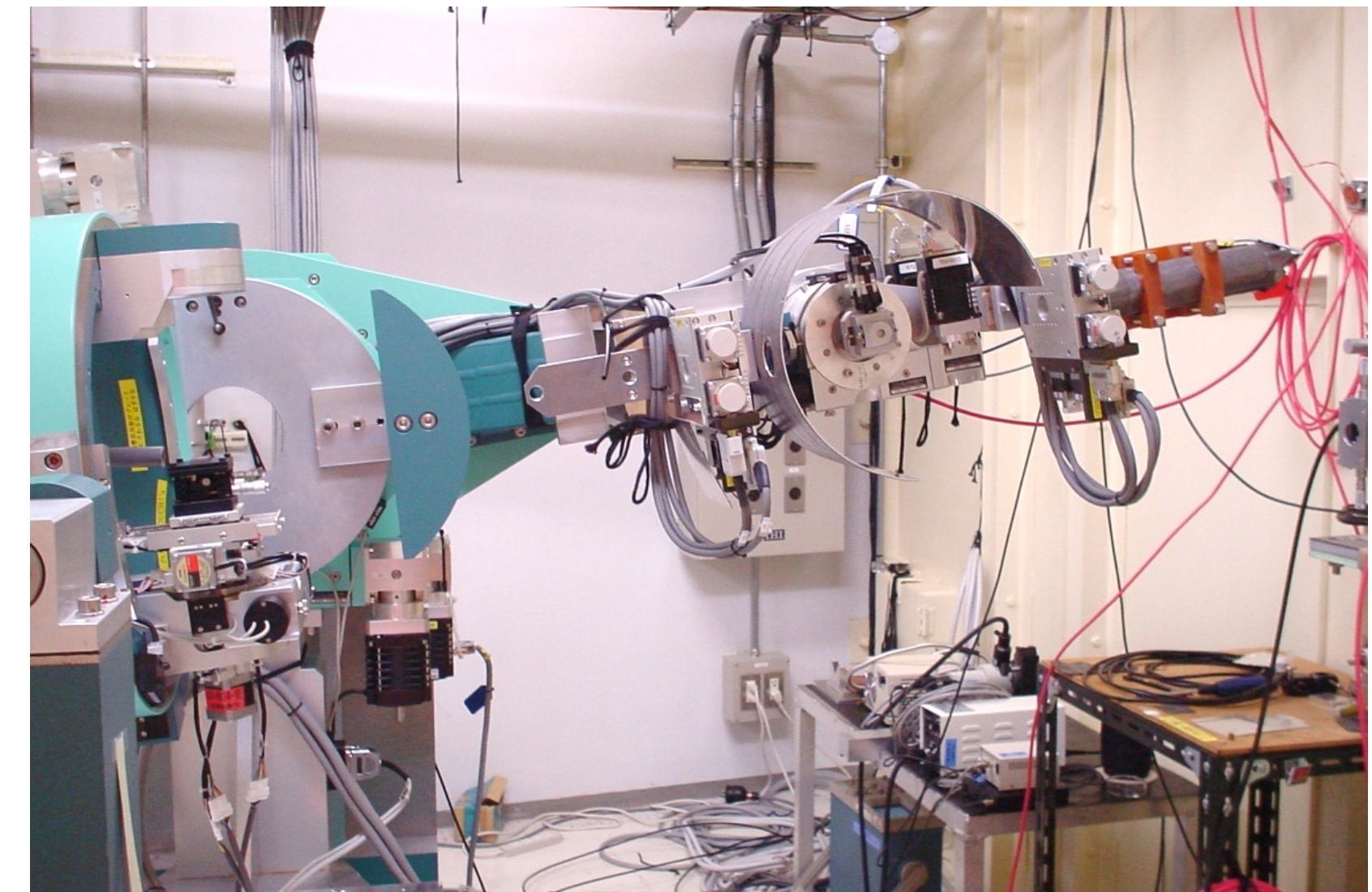
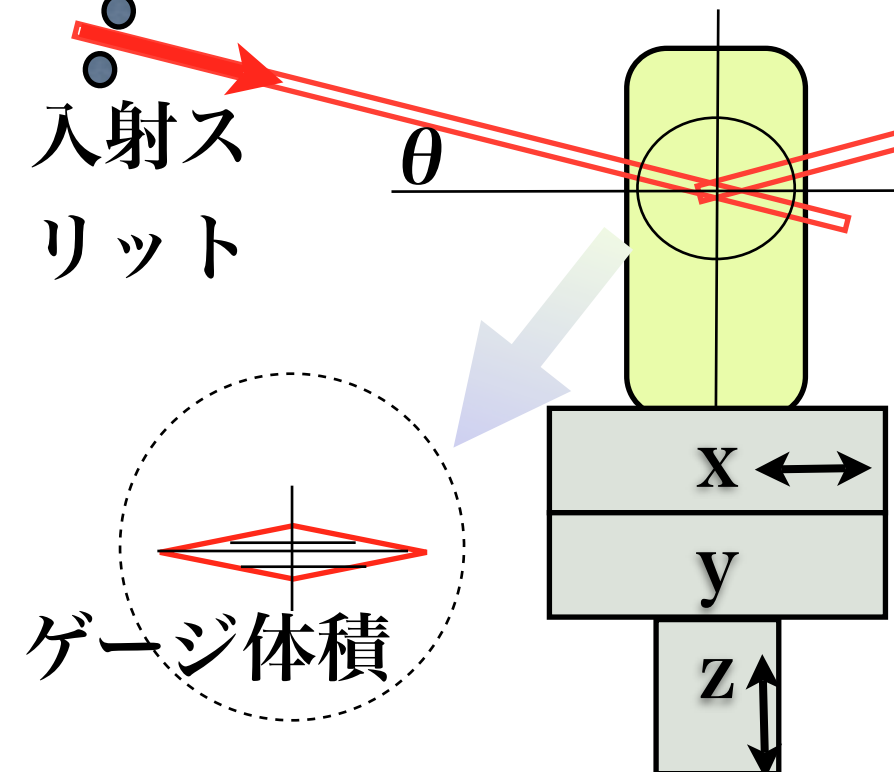
入射ス
リット

θ

受光スリット

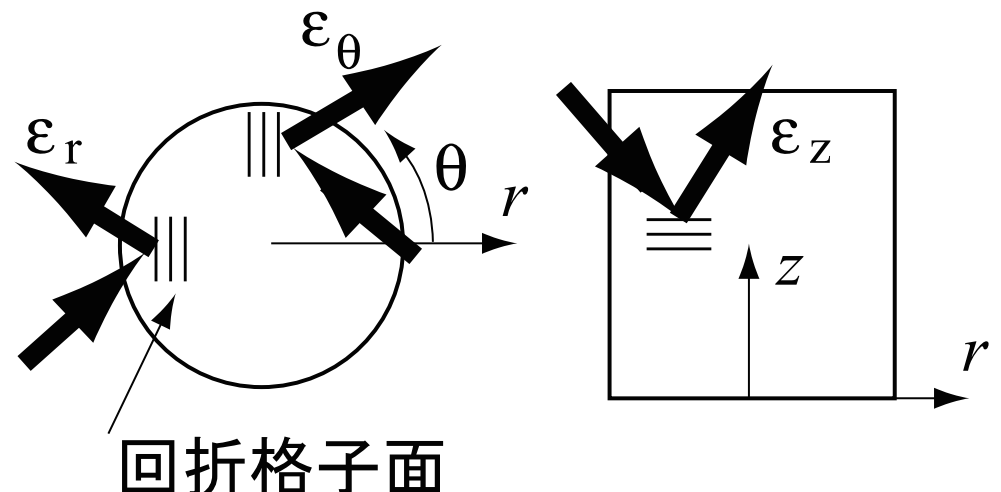
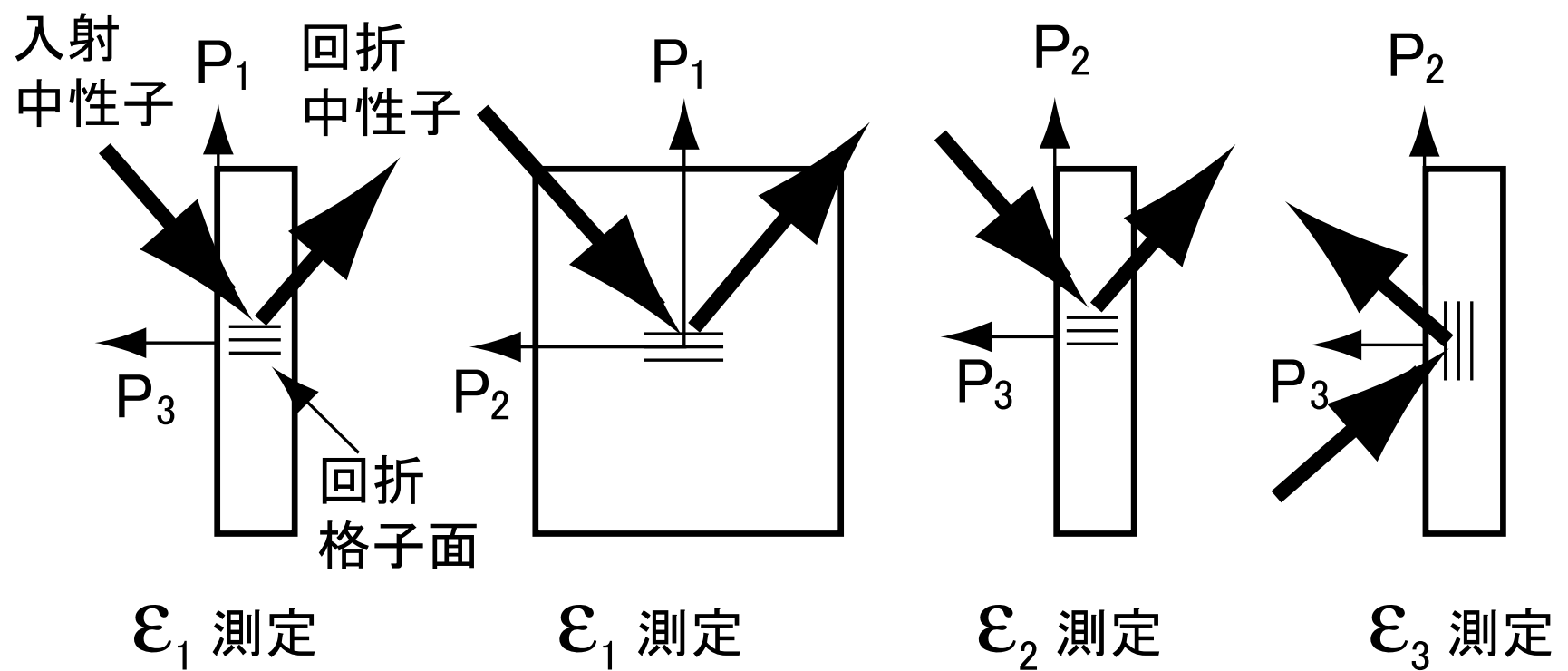
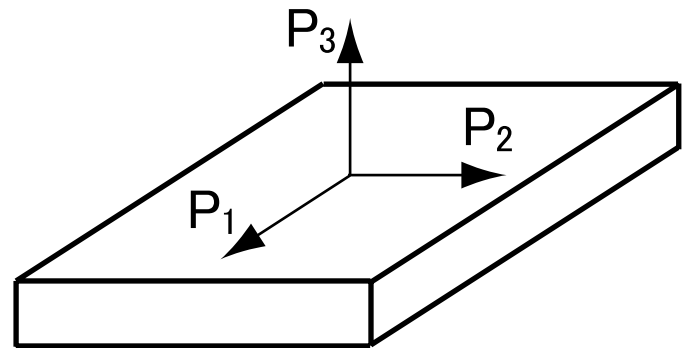
θ

カウンター



BL46XU in SPring-8

3軸応力測定



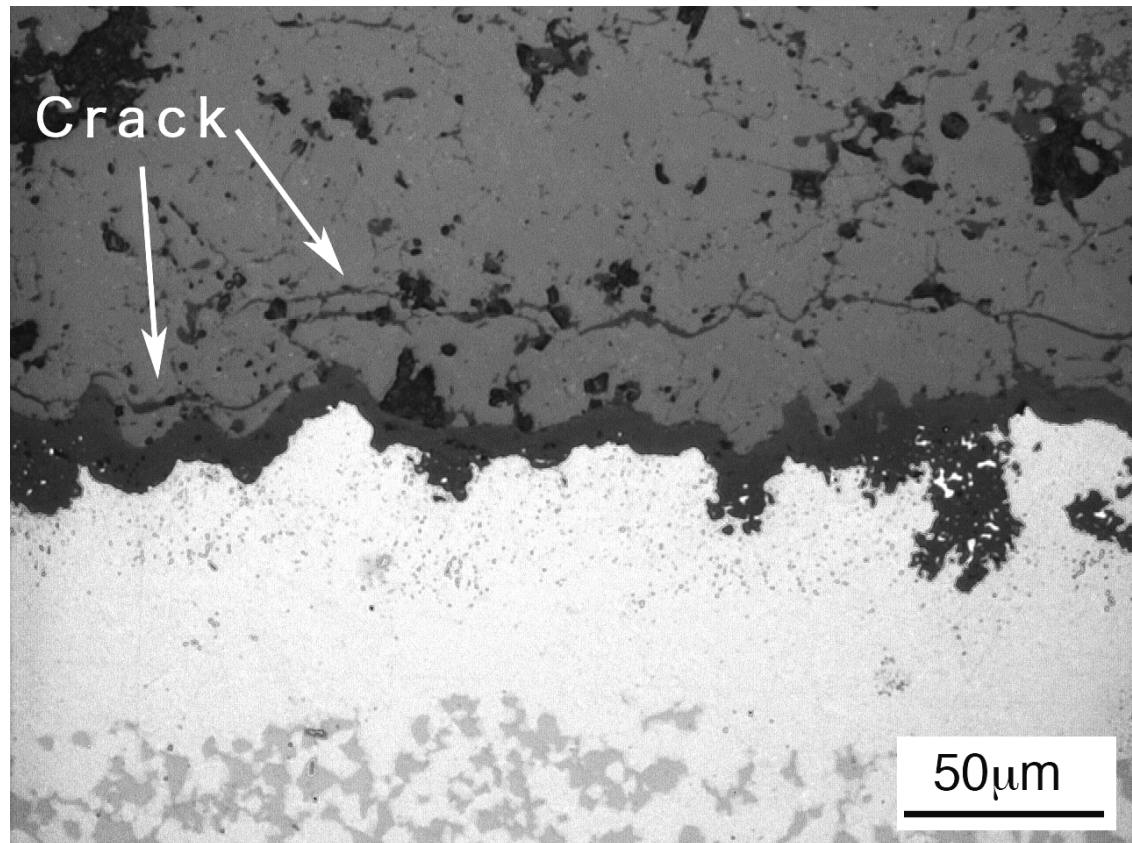
$$\sigma_x = \frac{E}{1+\nu} \left[\varepsilon_x + \frac{\nu}{1-2\nu} (\varepsilon_x + \varepsilon_y + \varepsilon_z) \right]$$

$$\sigma_y = \frac{E}{1+\nu} \left[\varepsilon_y + \frac{\nu}{1-2\nu} (\varepsilon_x + \varepsilon_y + \varepsilon_z) \right]$$

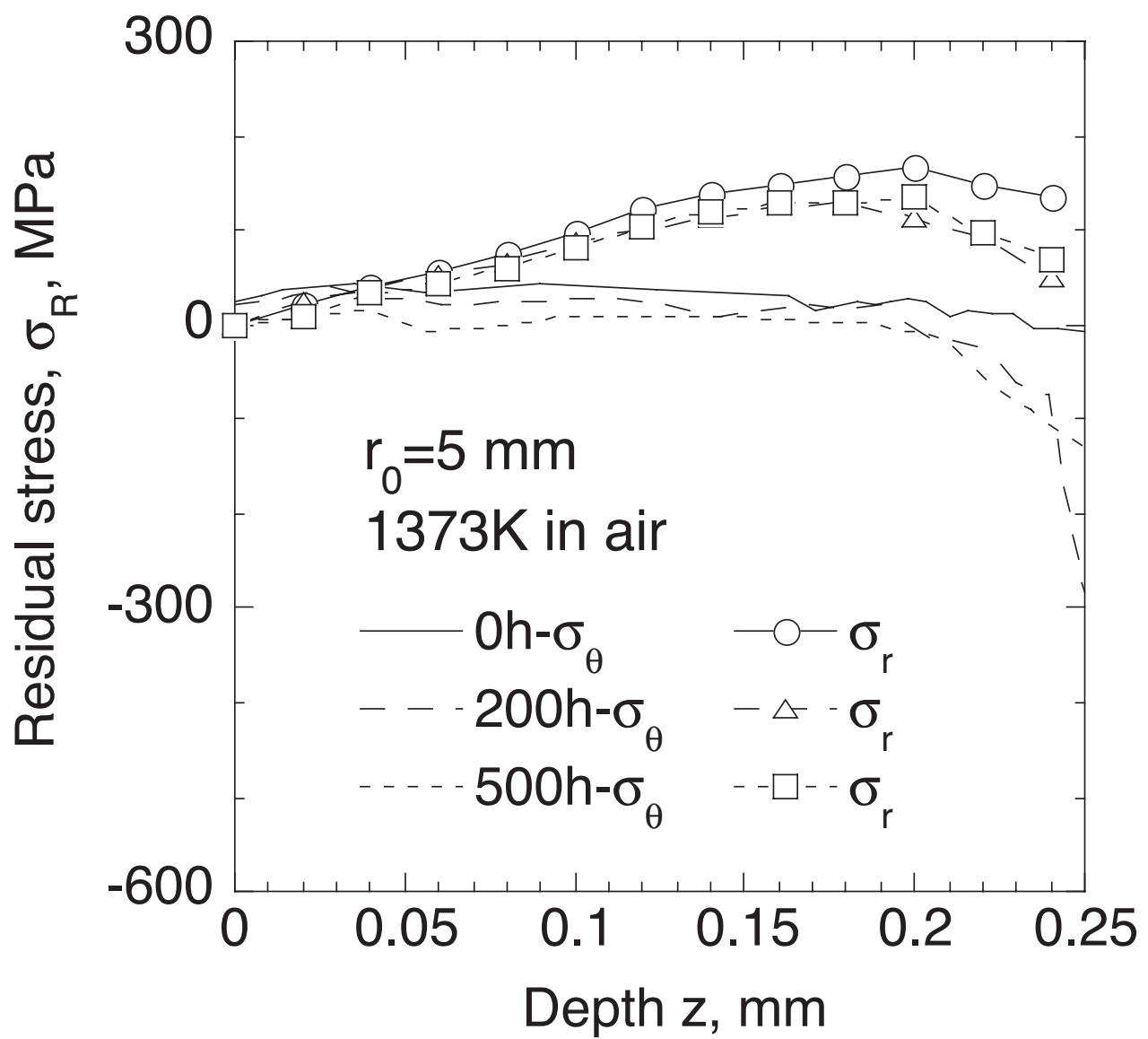
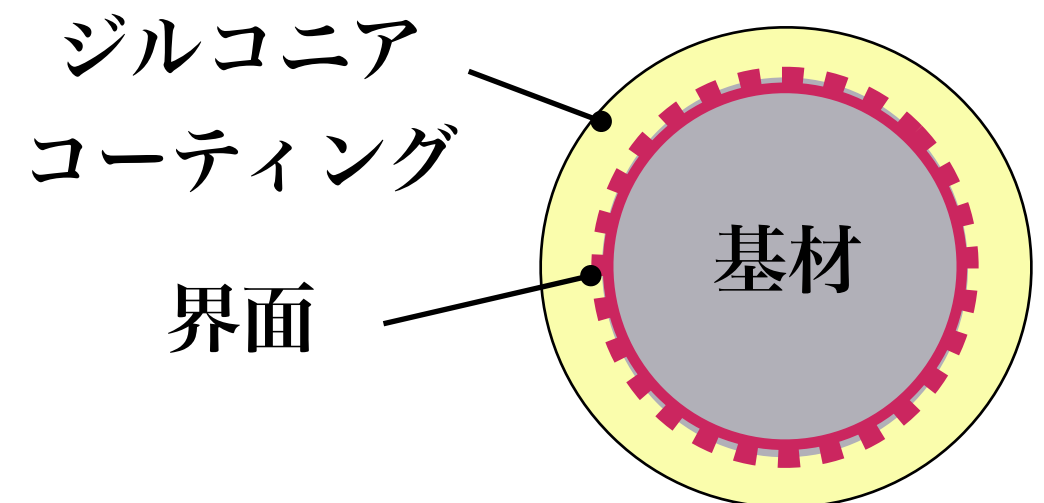
$$\sigma_z = \frac{E}{1+\nu} \left[\varepsilon_z + \frac{\nu}{1-2\nu} (\varepsilon_x + \varepsilon_y + \varepsilon_z) \right]$$

ひずみスキャニング測定例

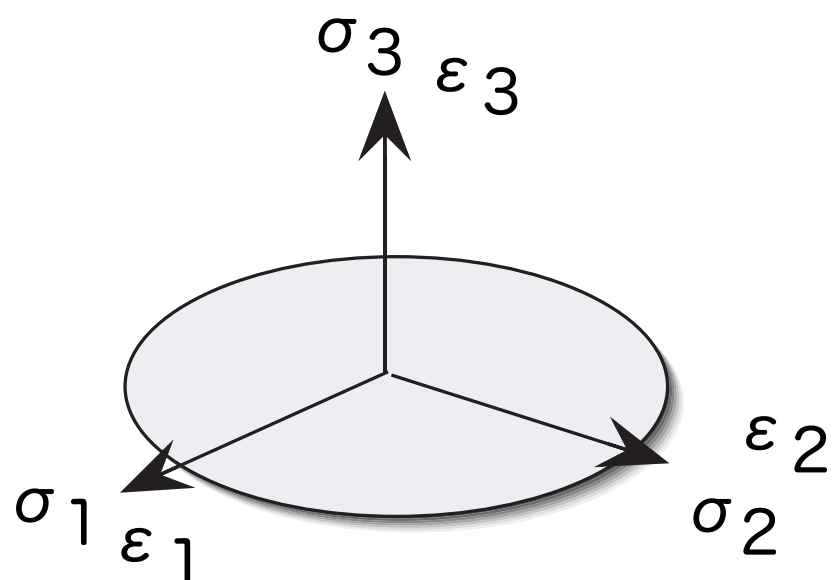
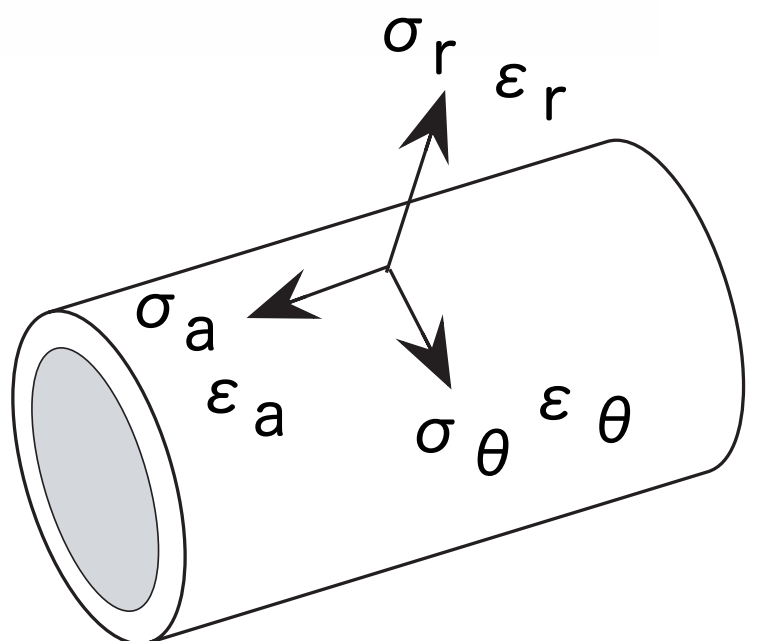
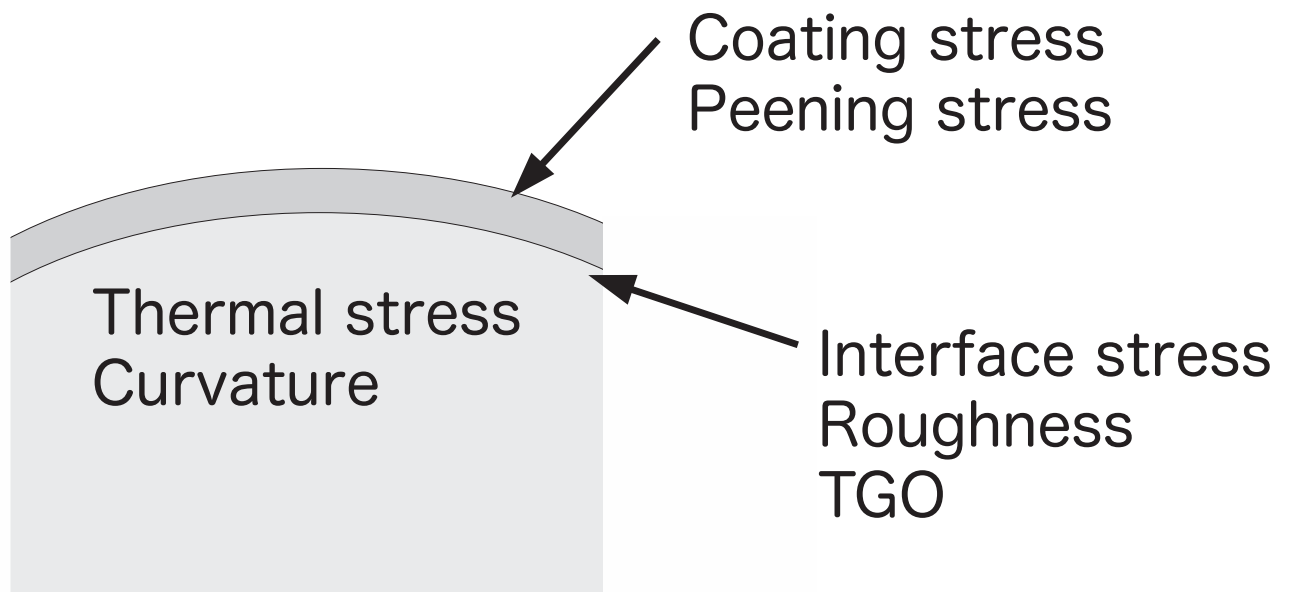
プラズマ溶射遮熱コーティング



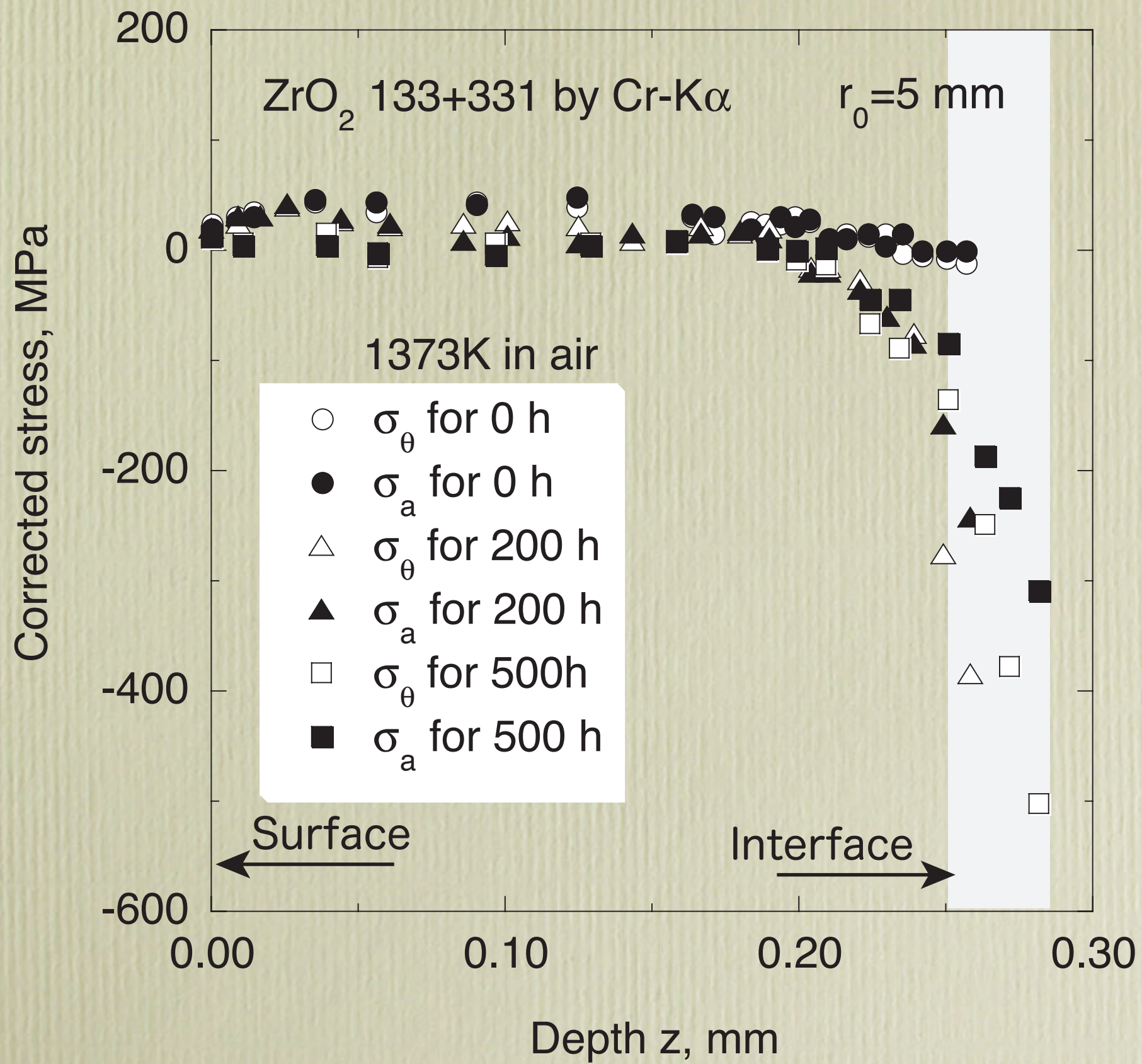
1373K, 500h



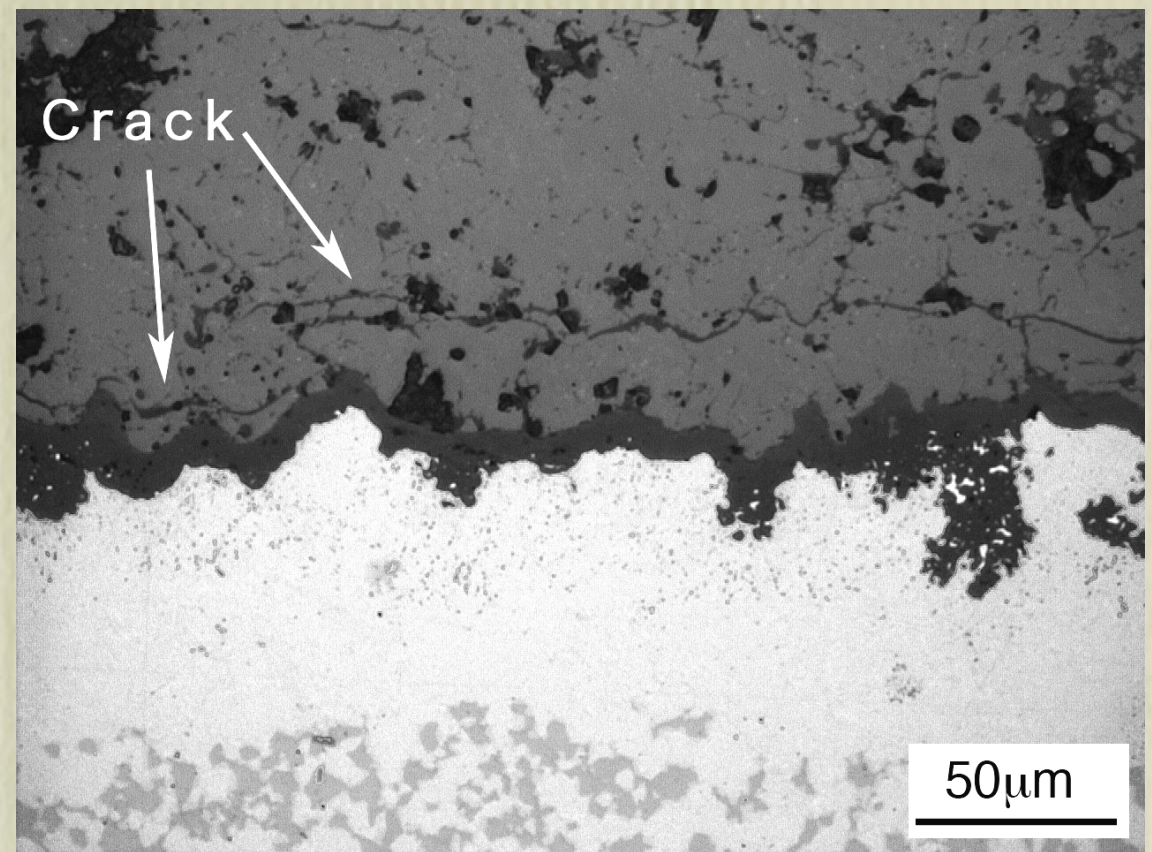
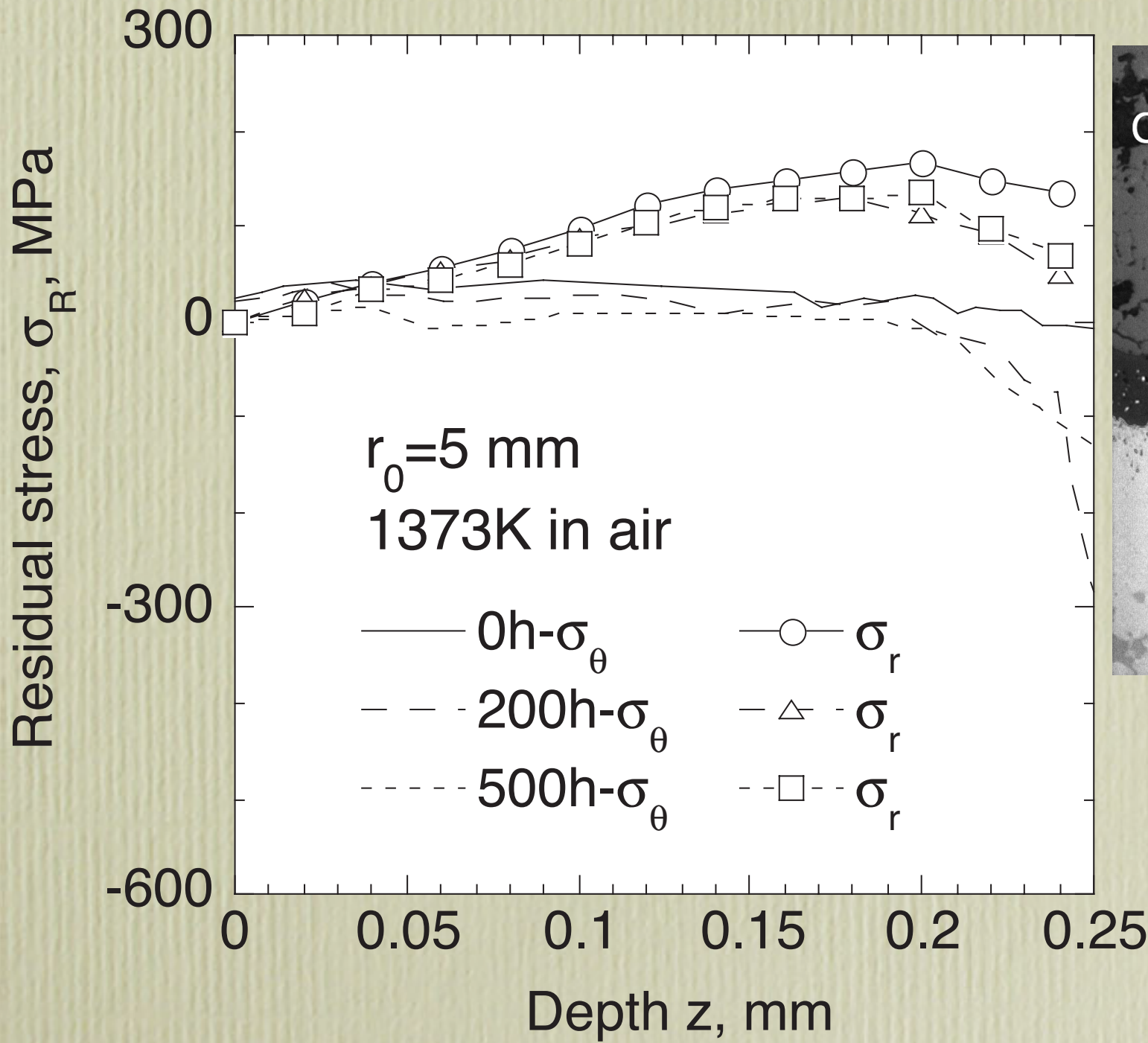
プラズマ溶射遮熱コーティングコーティング



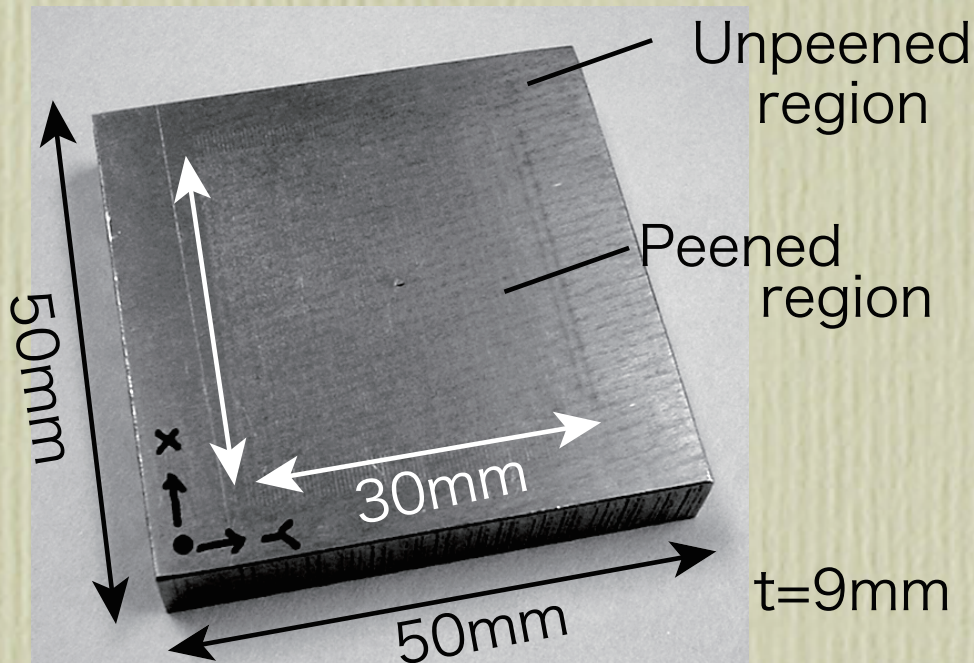
TBC残留応力分布



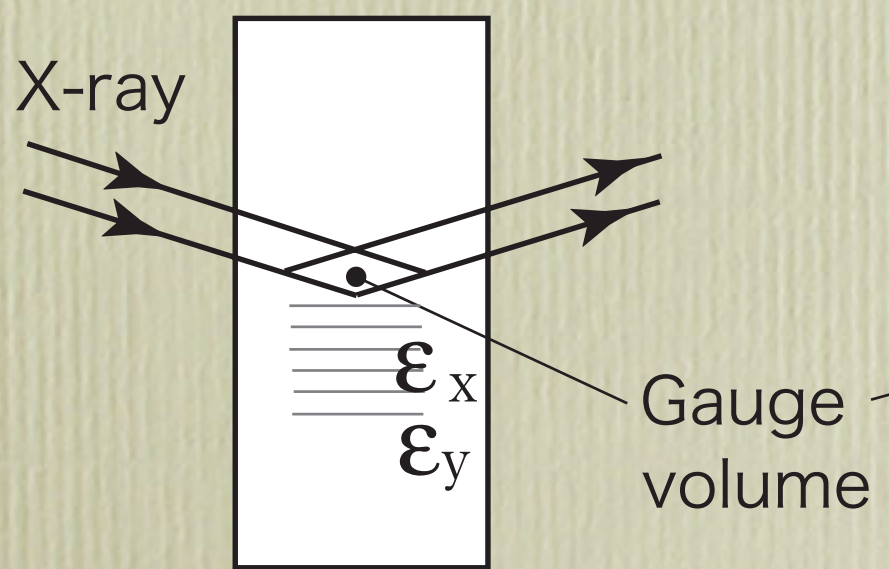
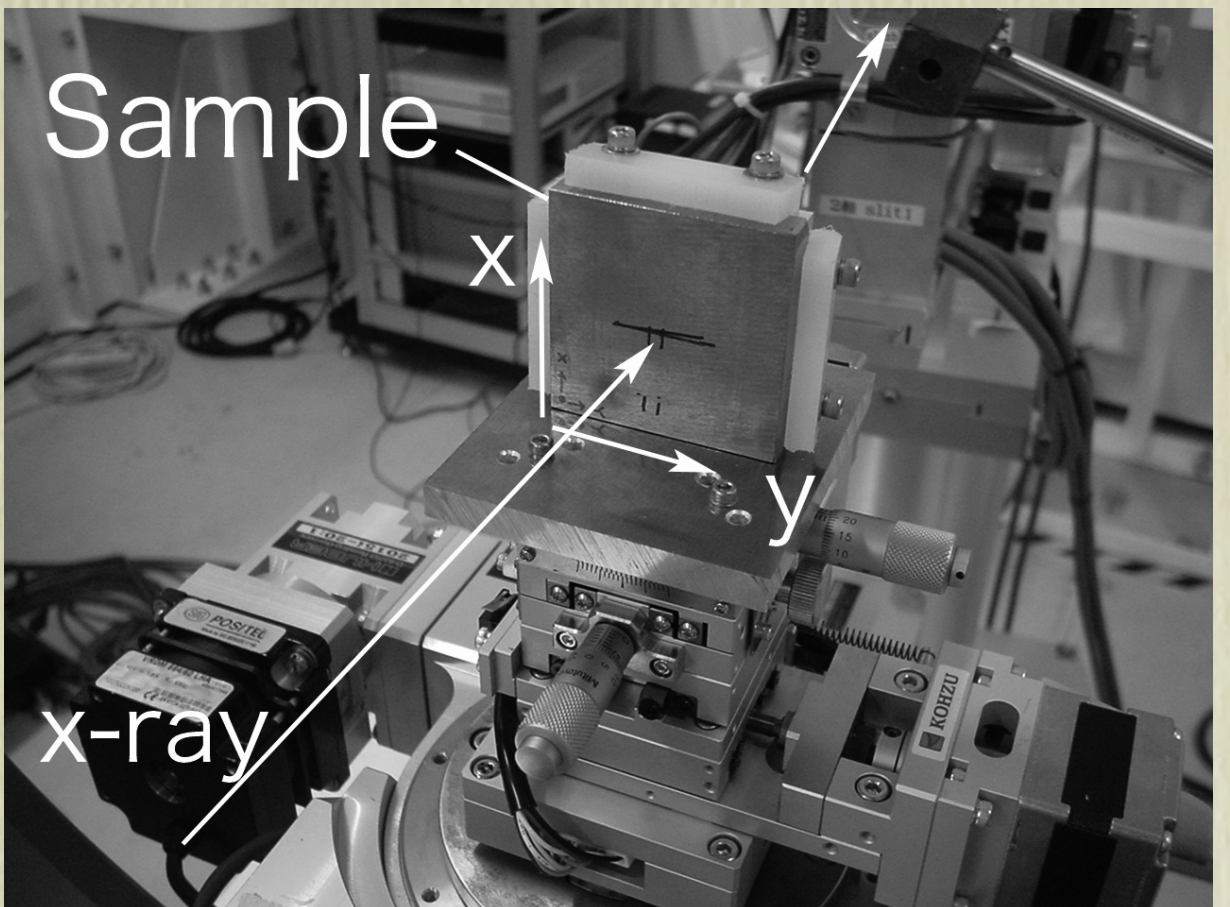
はく離応力



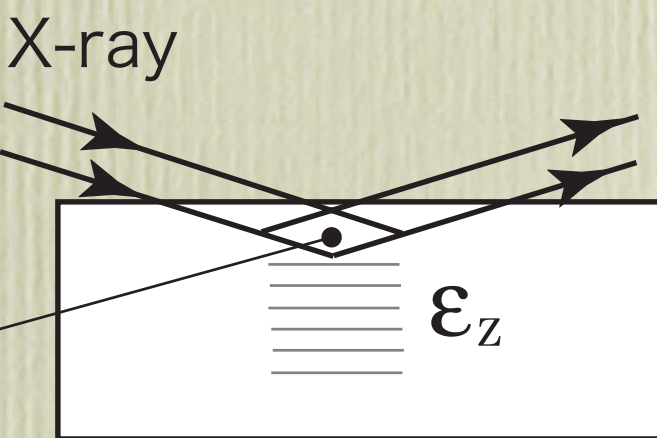
レーザショックピーニングの残留応力分布



Ti6Al4V

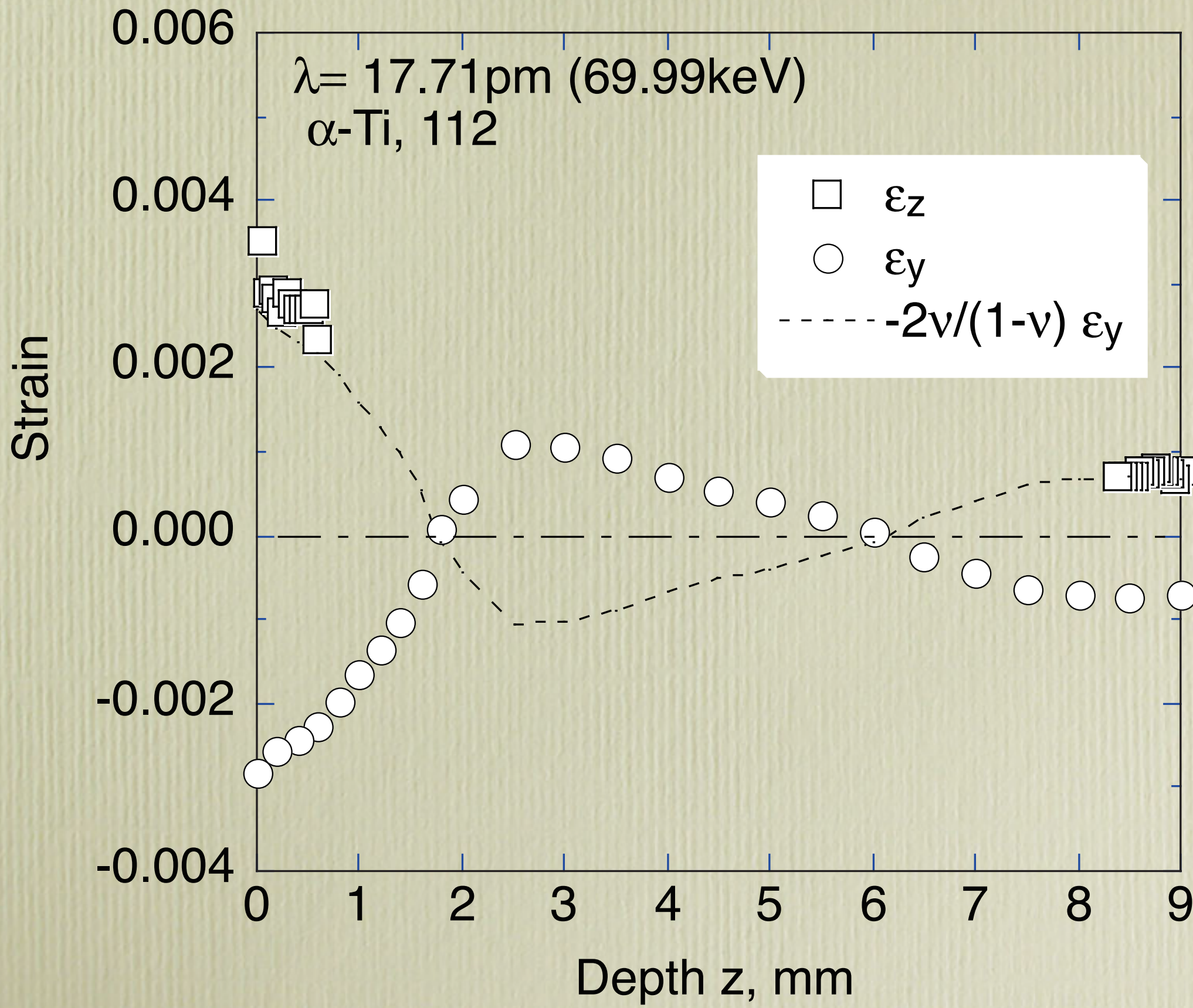


Transmission

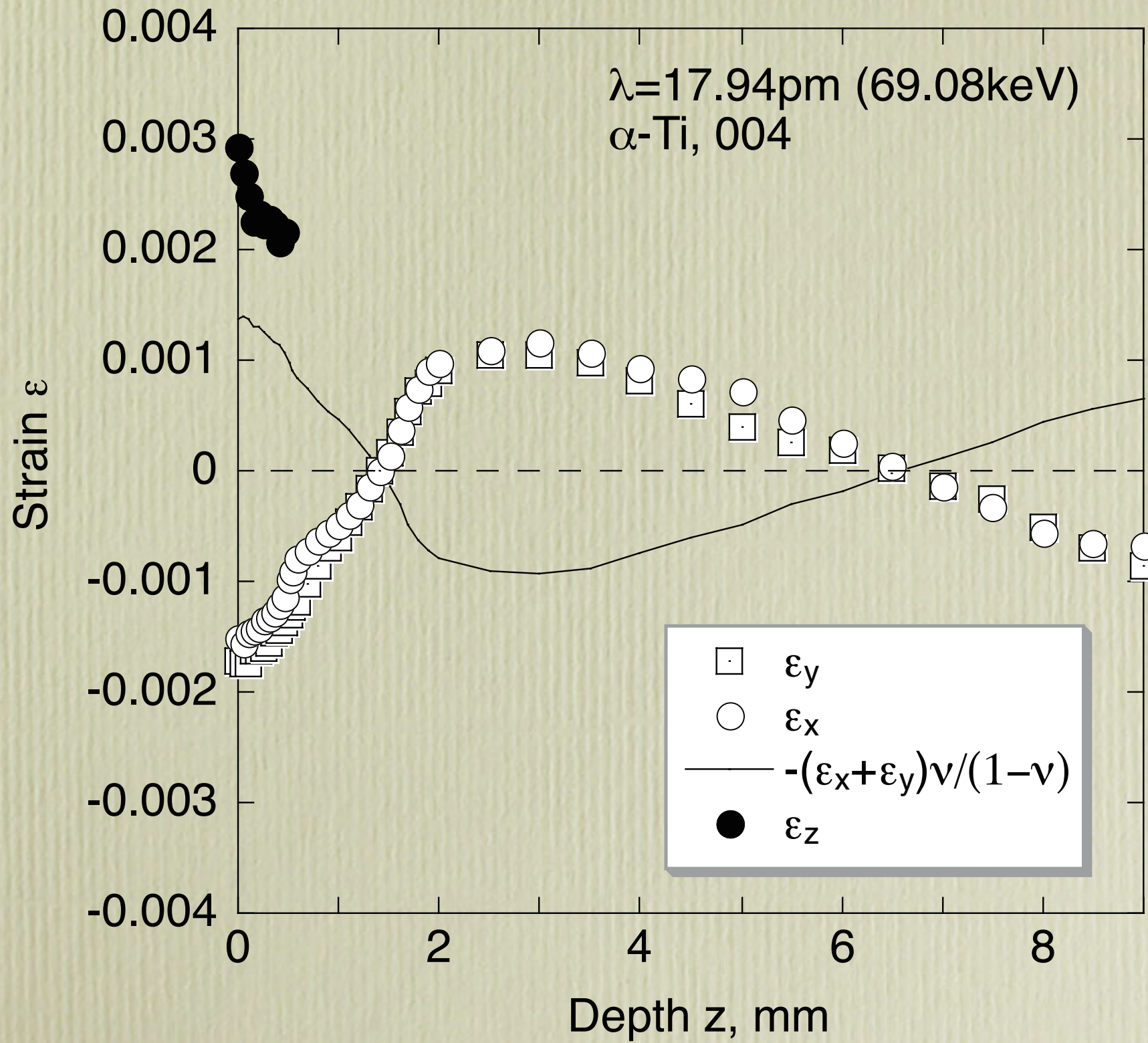


Reflection

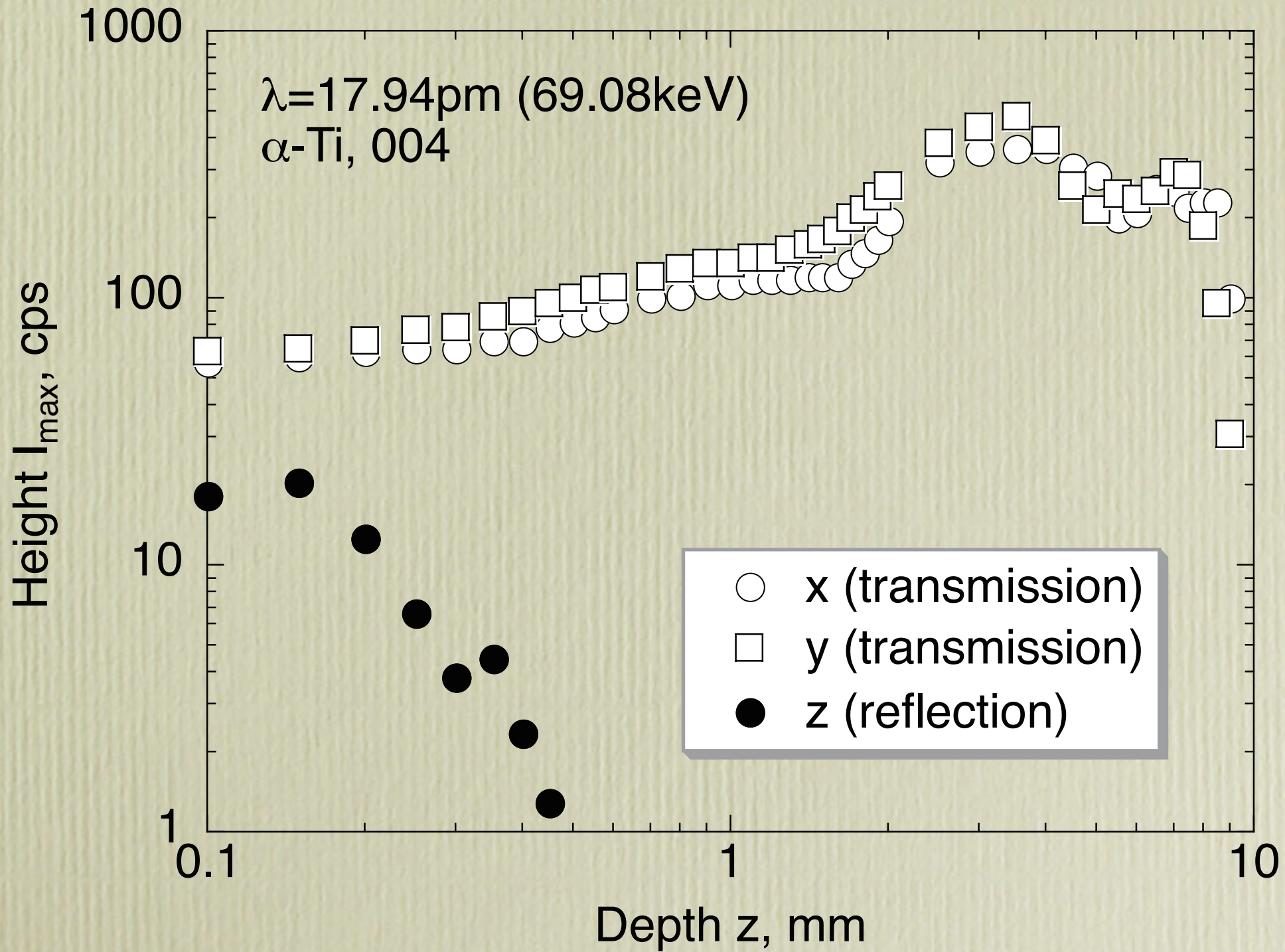
残留応力分布



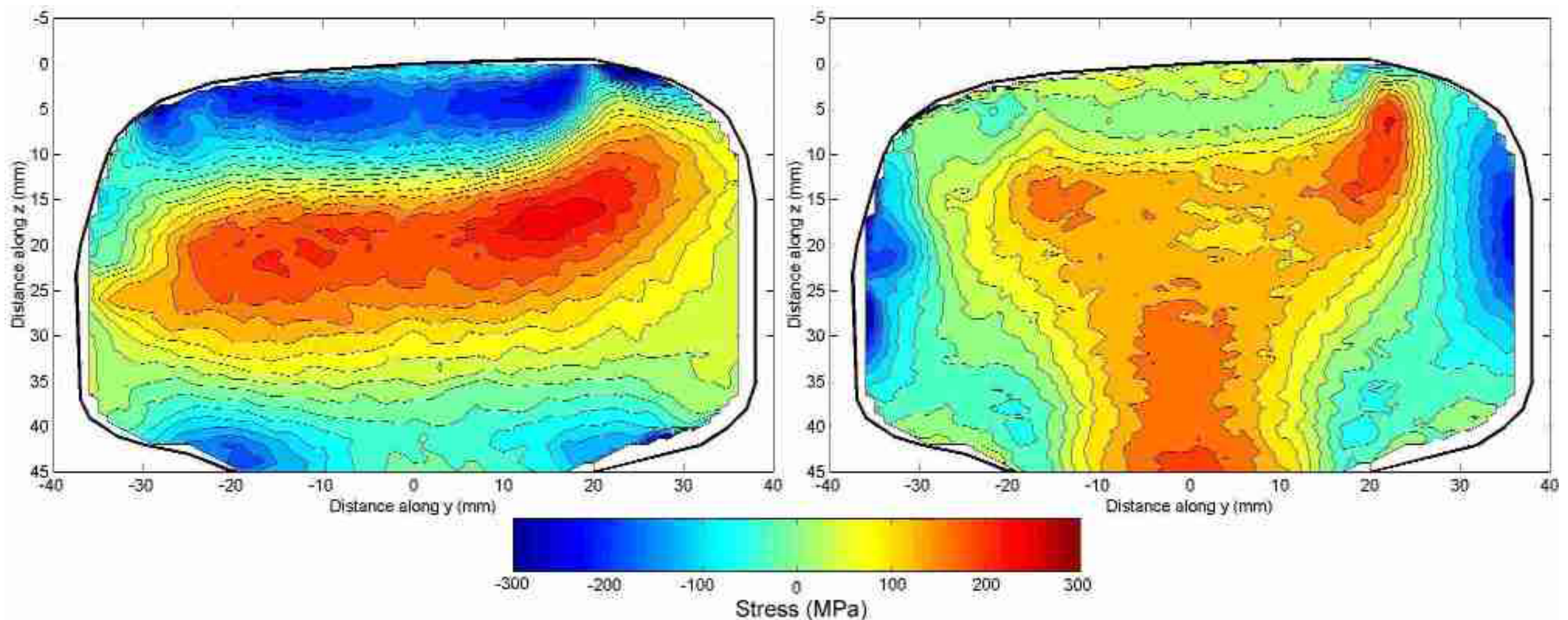
粒間ひずみの影響



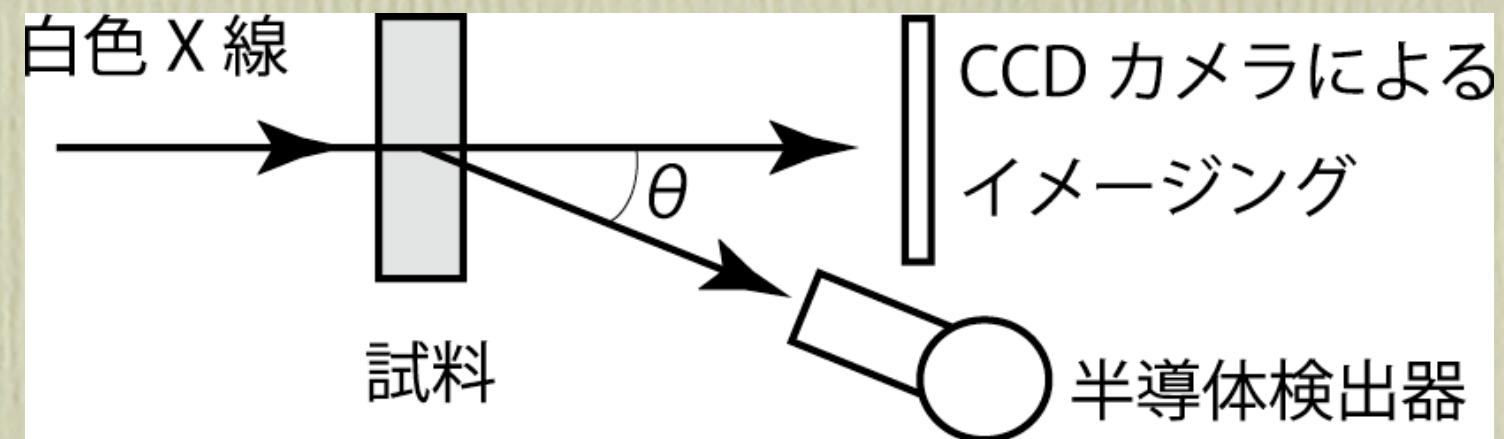
反射法と透過法



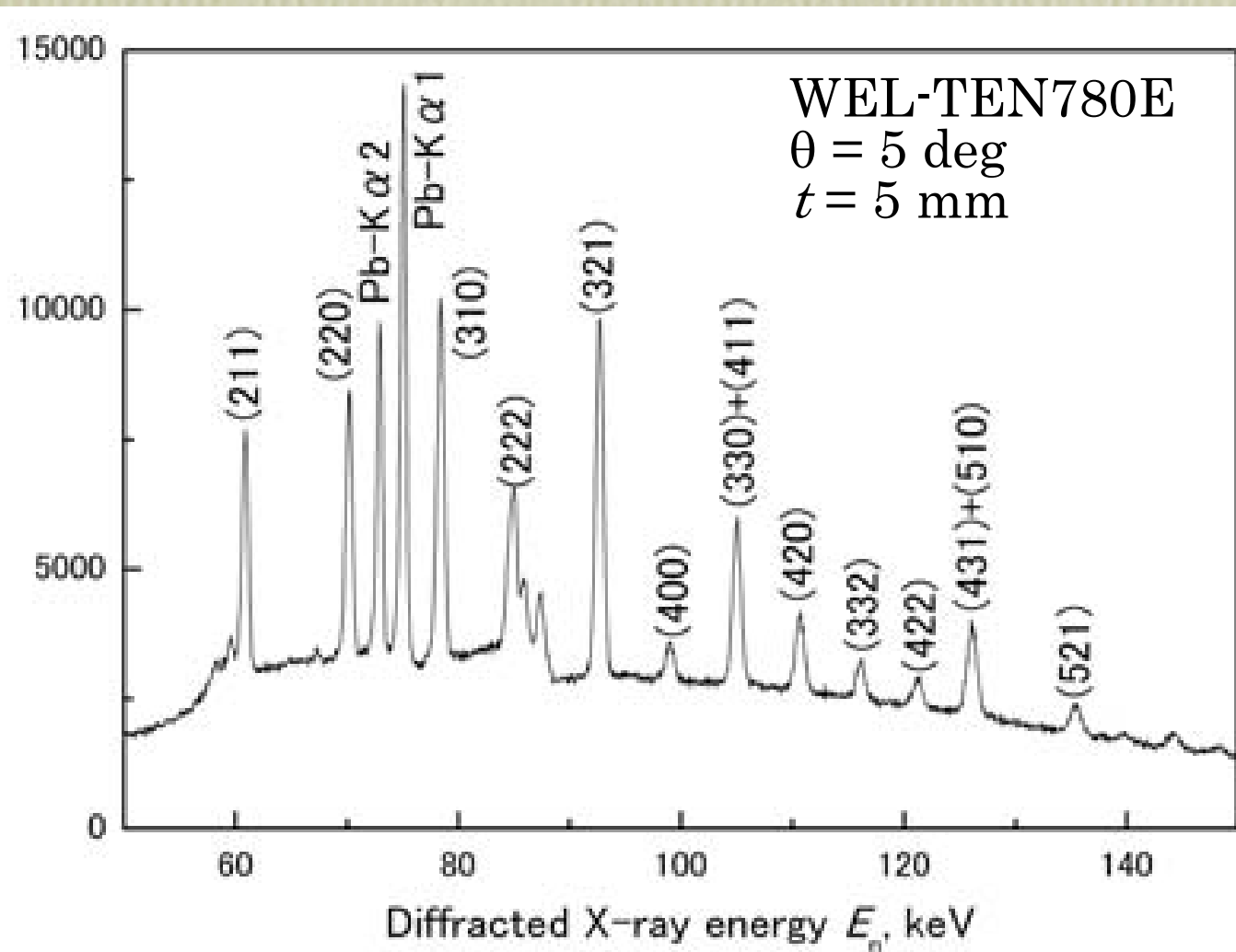
鉄道レールの残留応力分布



放射光白色X線とイメージング

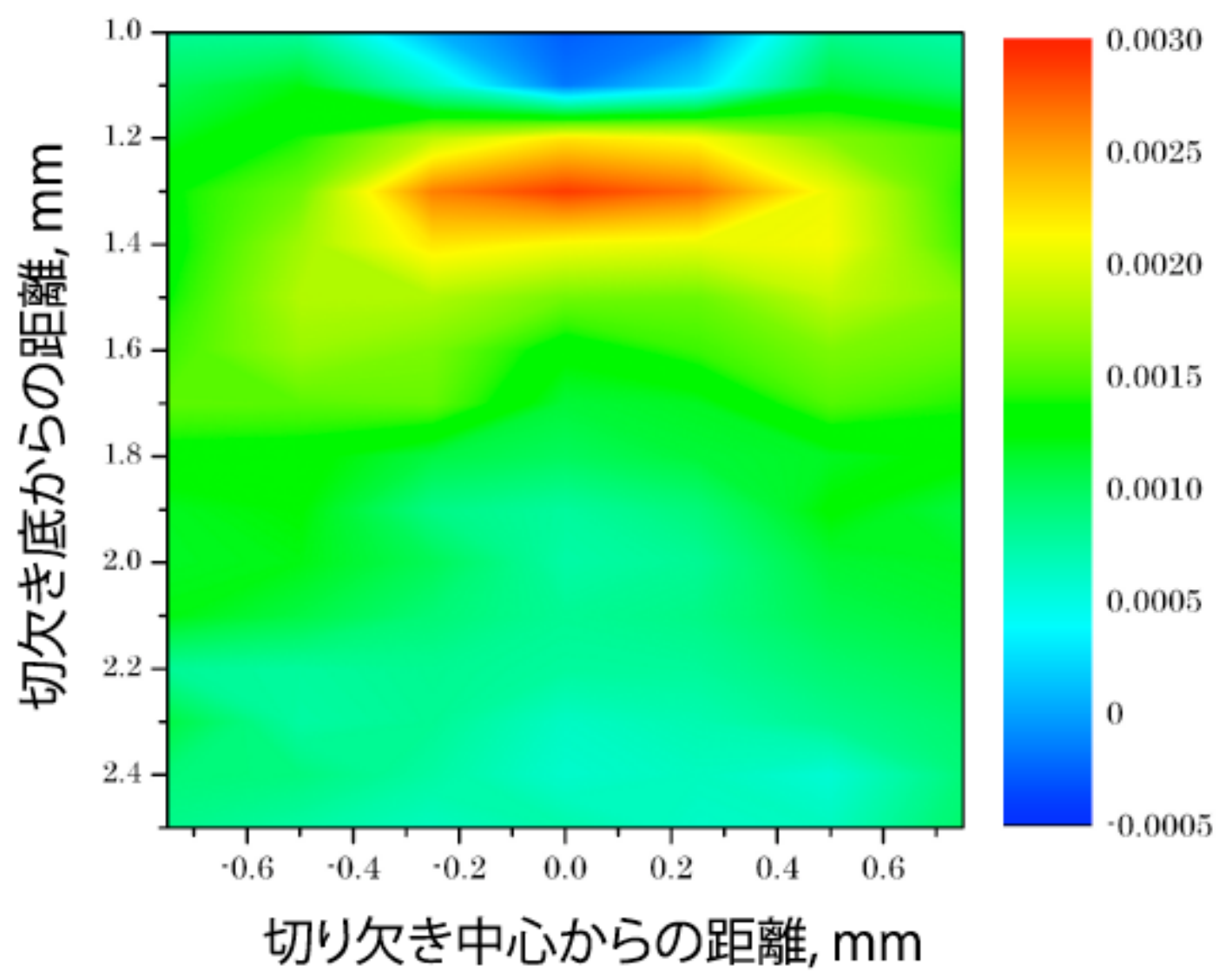
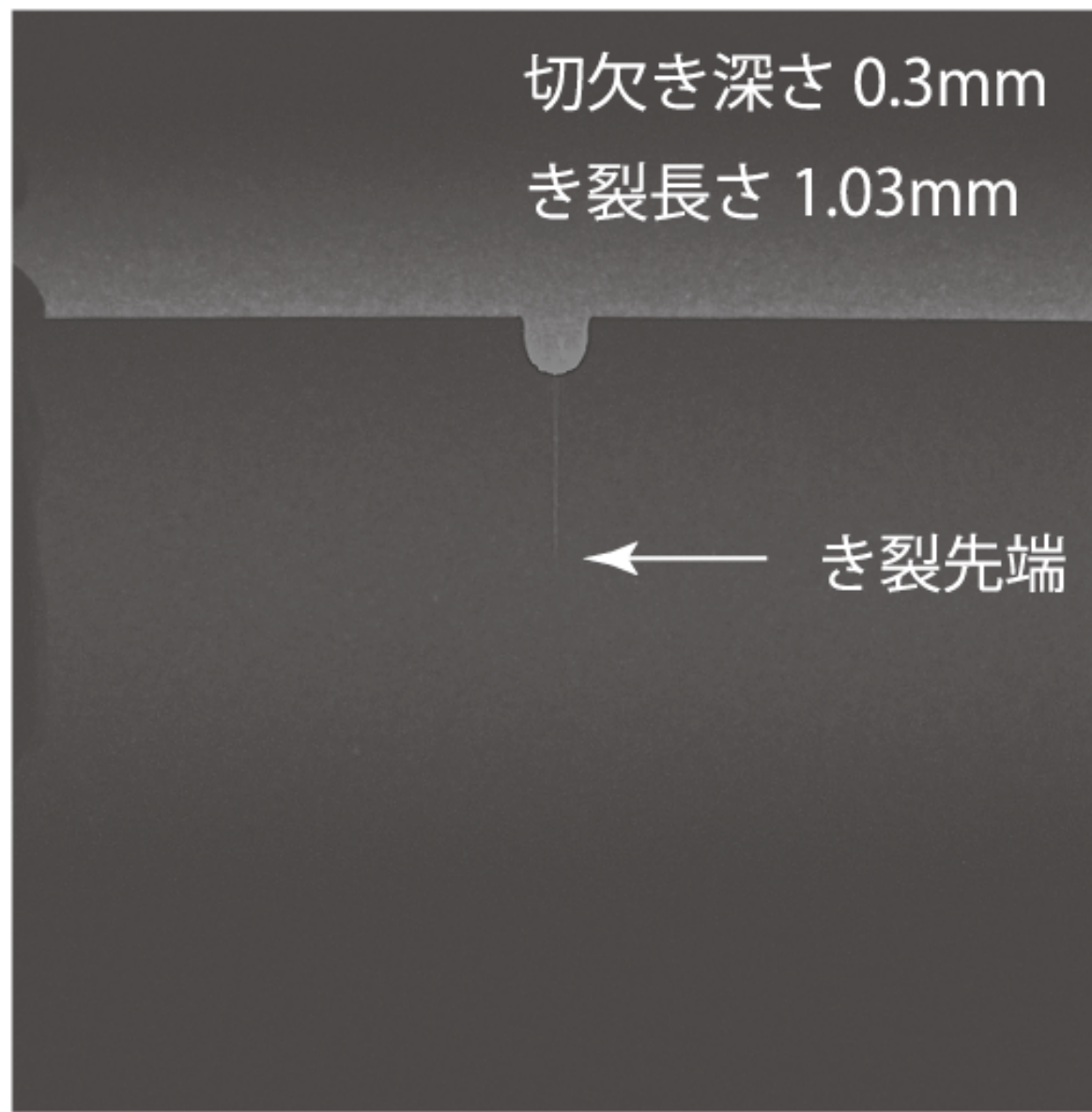


$$\lambda = \frac{hc}{E}$$

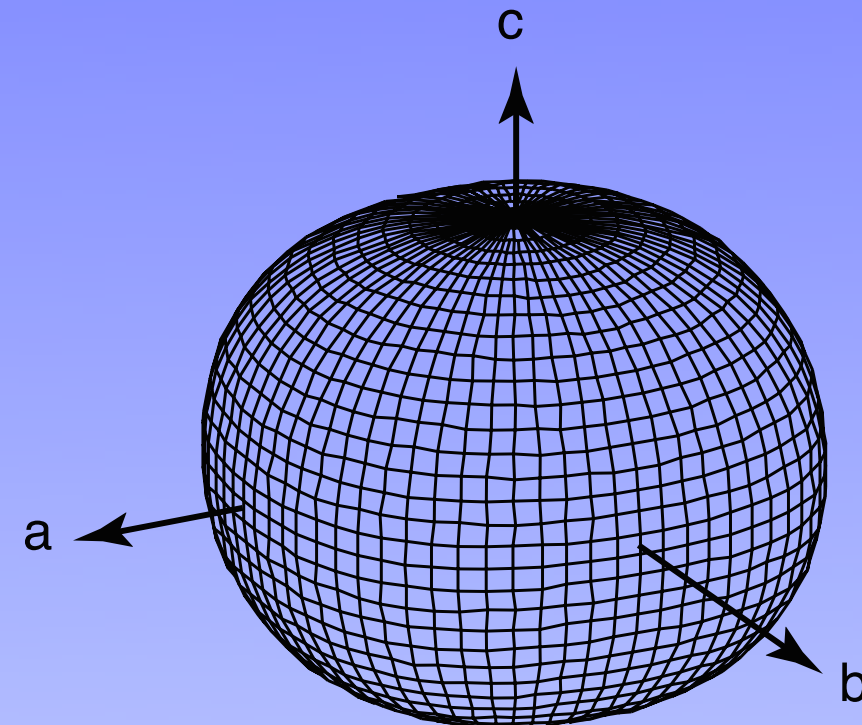


$$\varepsilon = \frac{d - d_0}{d_0} = \frac{E_0 - E}{E}$$

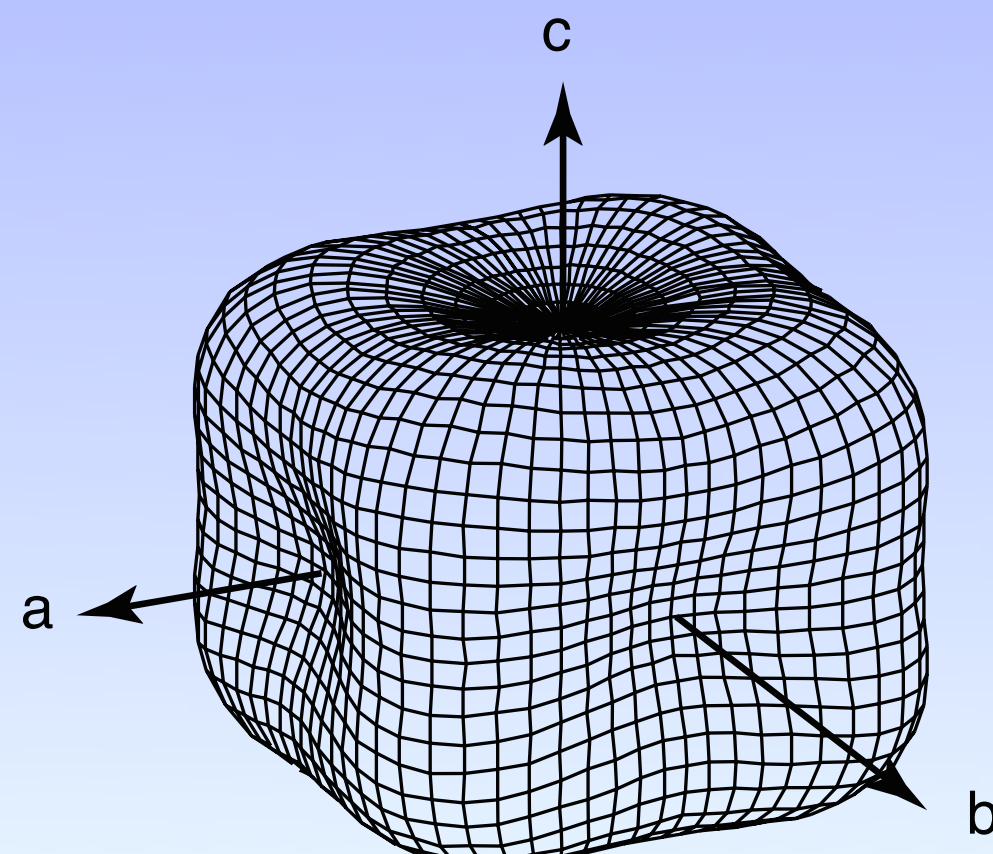
放射光白色X線とイメージング



4. 巨視的および微視的残留応力



Al, $A \approx 1.23$

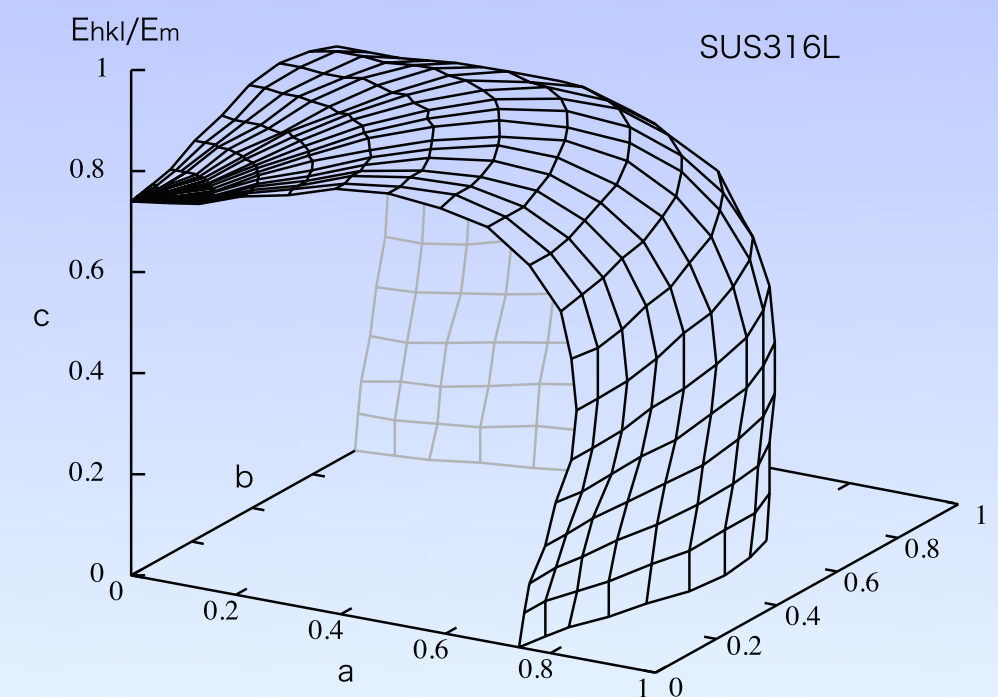


SUS316, $A=3.26$

弹性異方性パラメータA

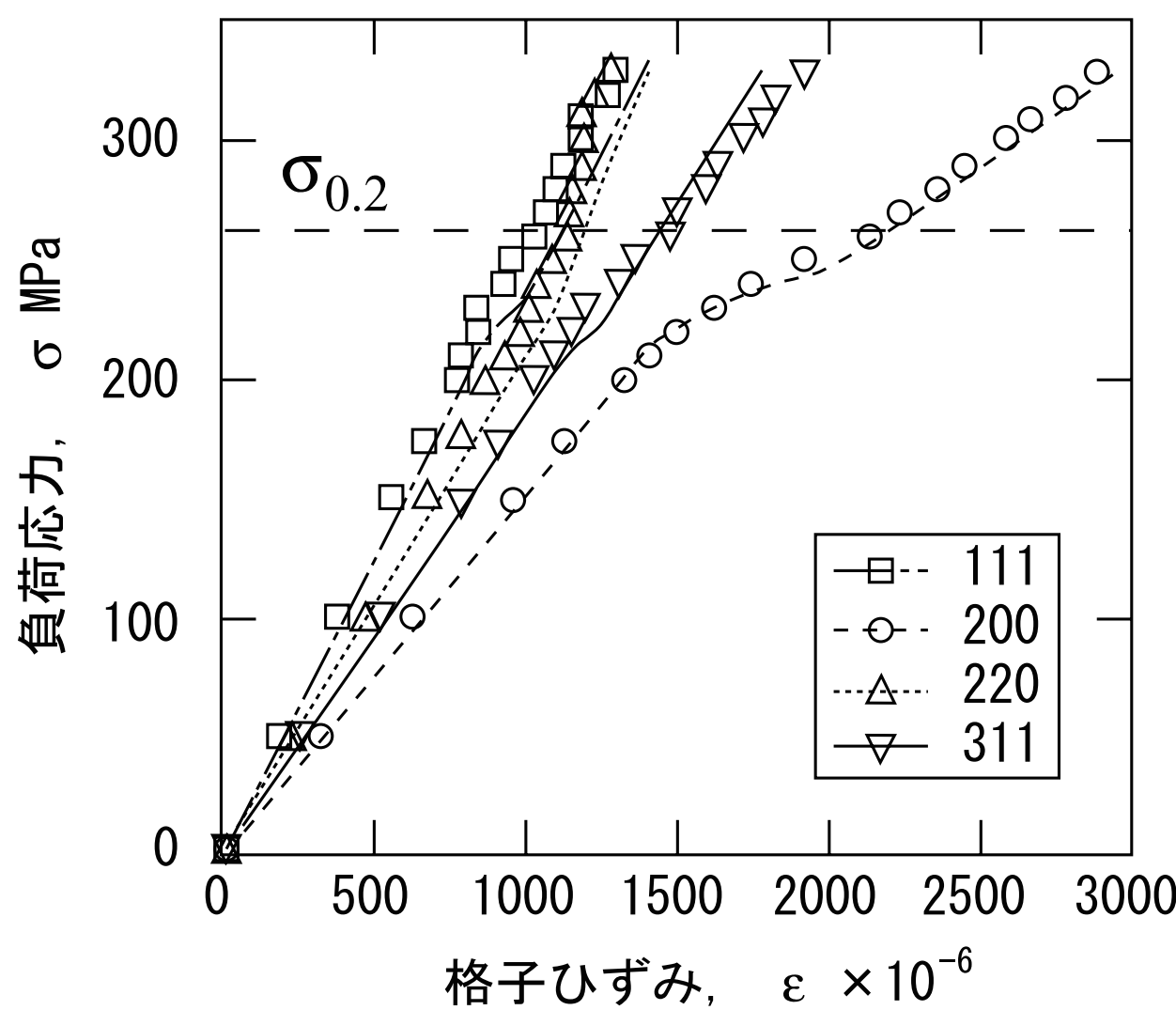
$$A = \frac{2C_{44}}{C_{11} - C_{12}}$$

Kröner モデル

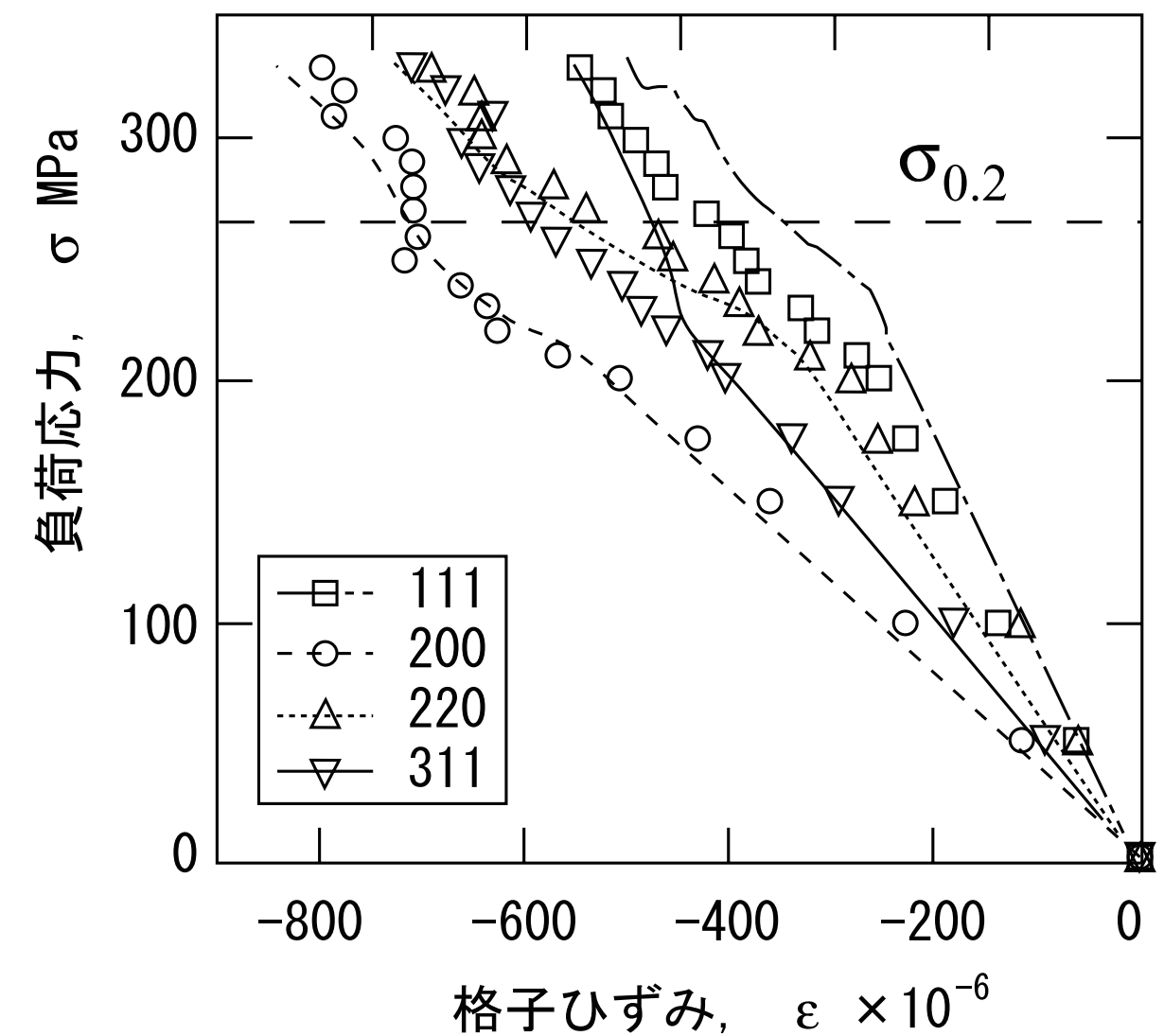


弾塑性における異方性, 結晶方位依存性

引張方向

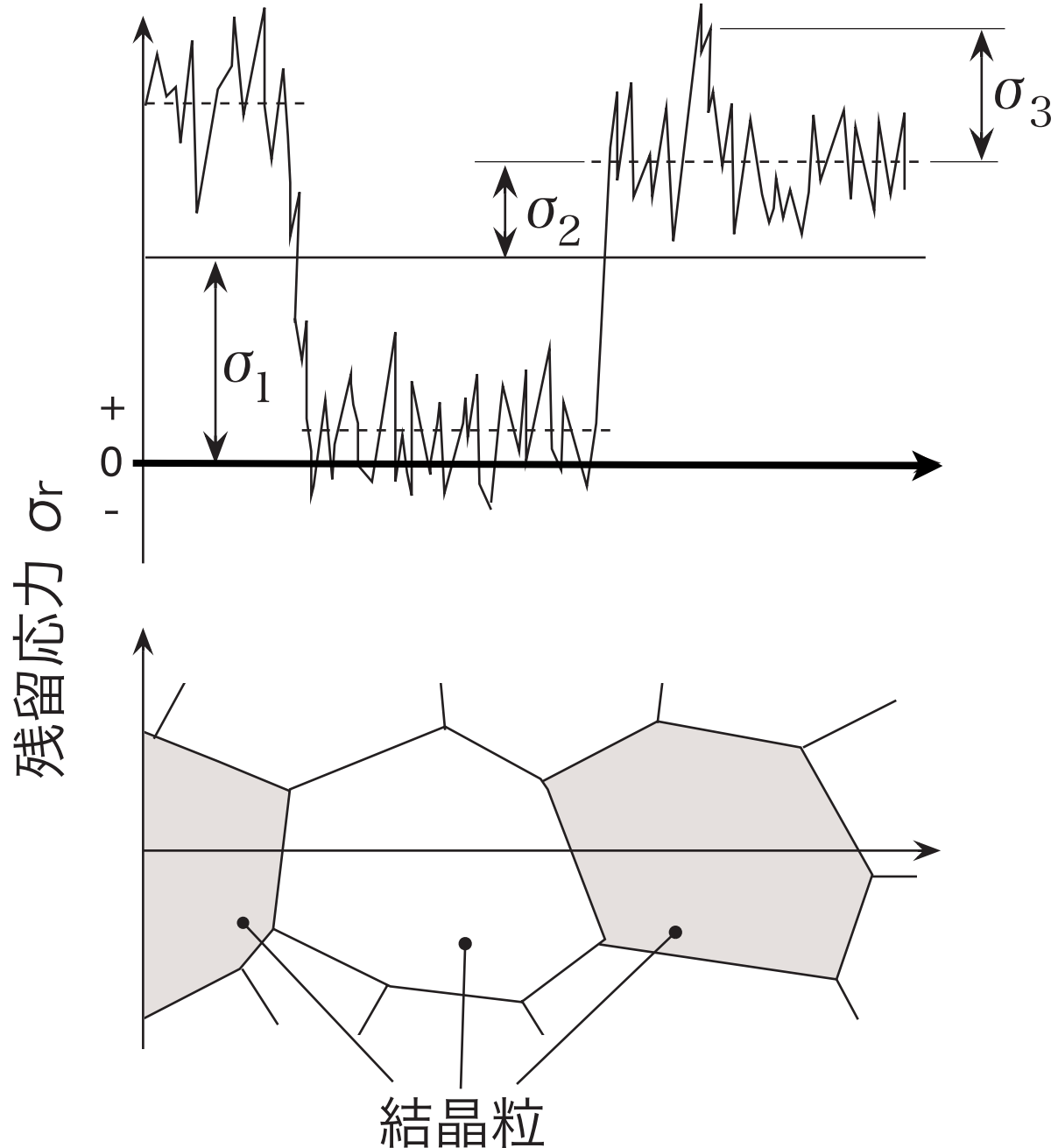


引張方向垂直



ステンレスの引張試験（中性子法）

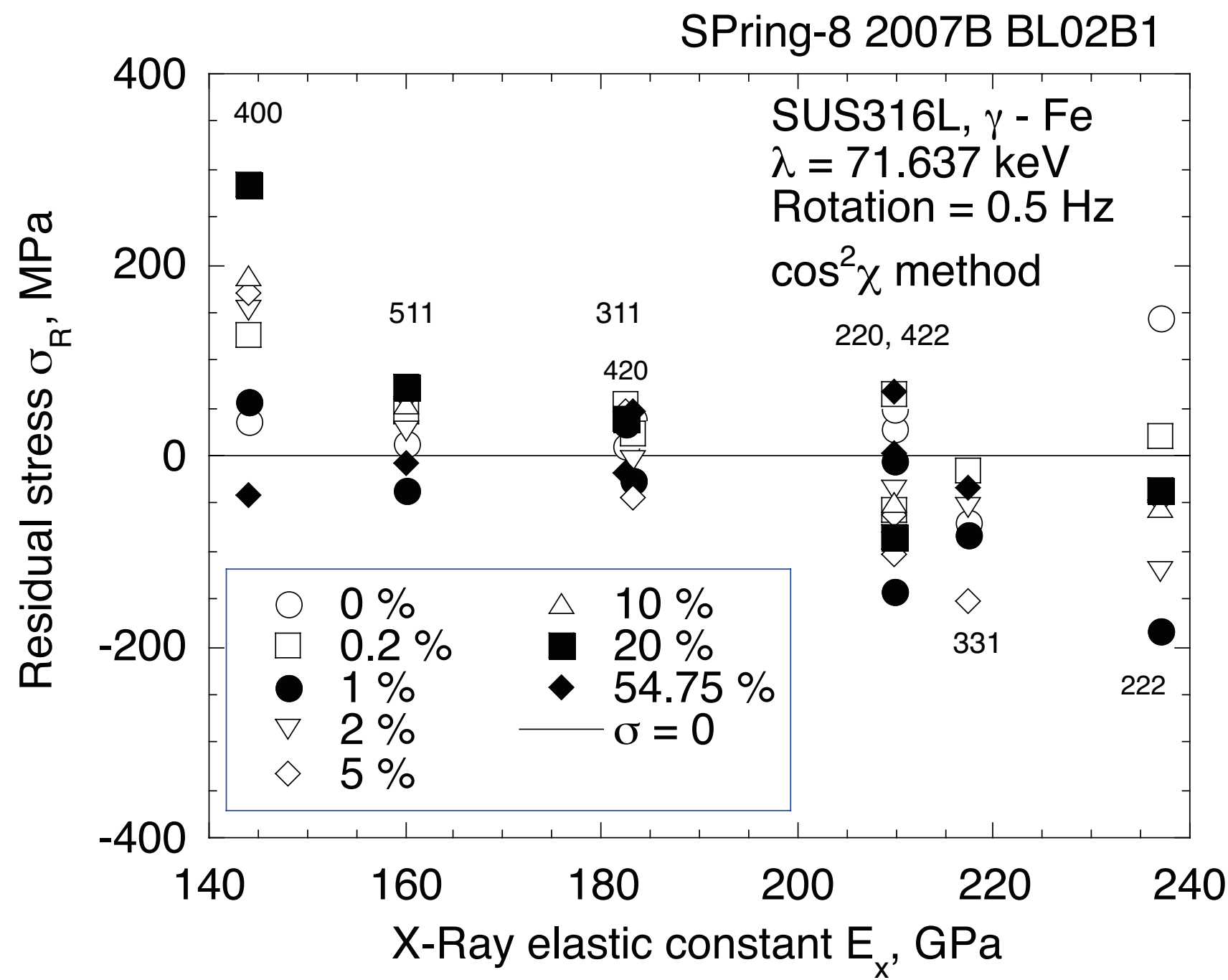
巨視的応力と微視的応力



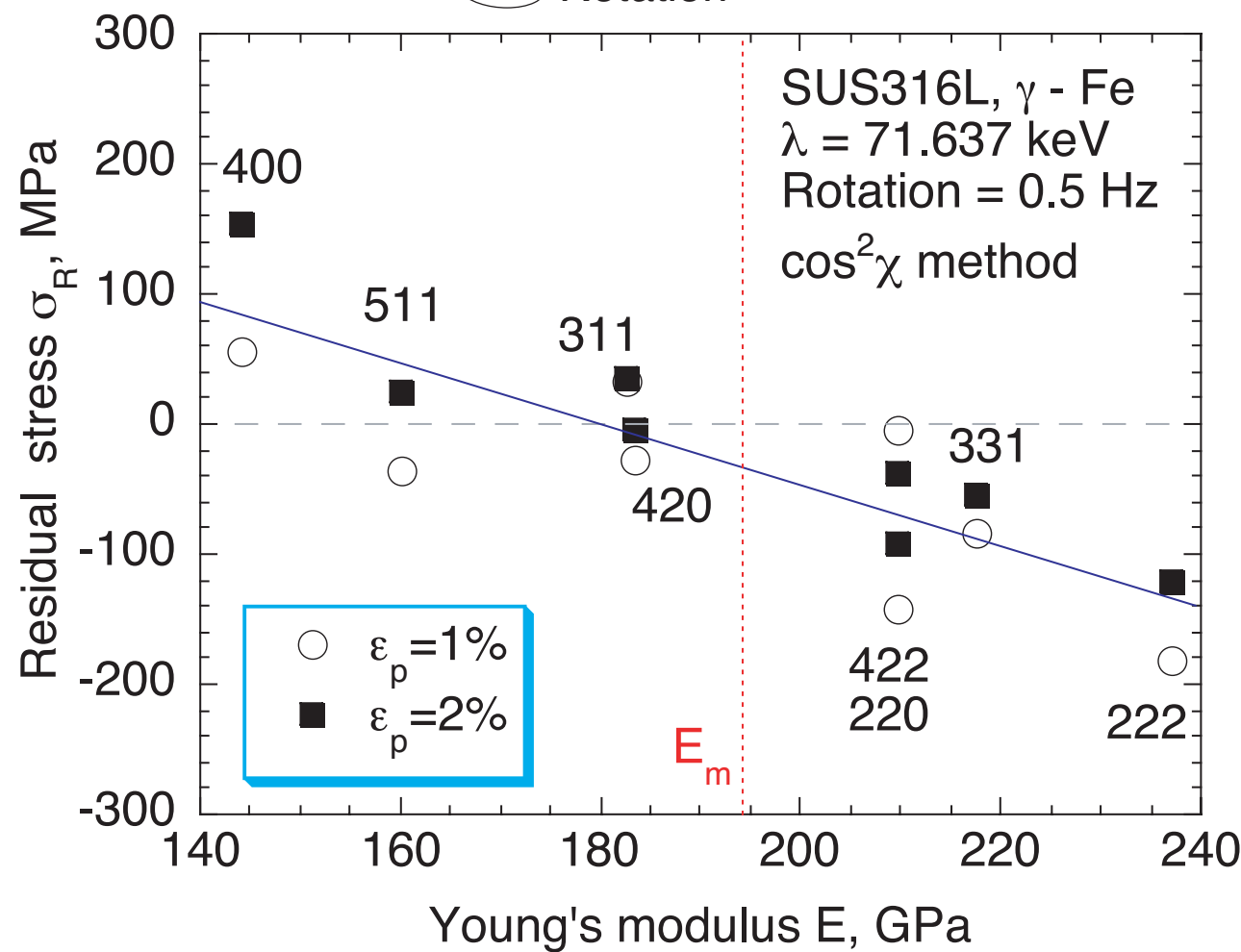
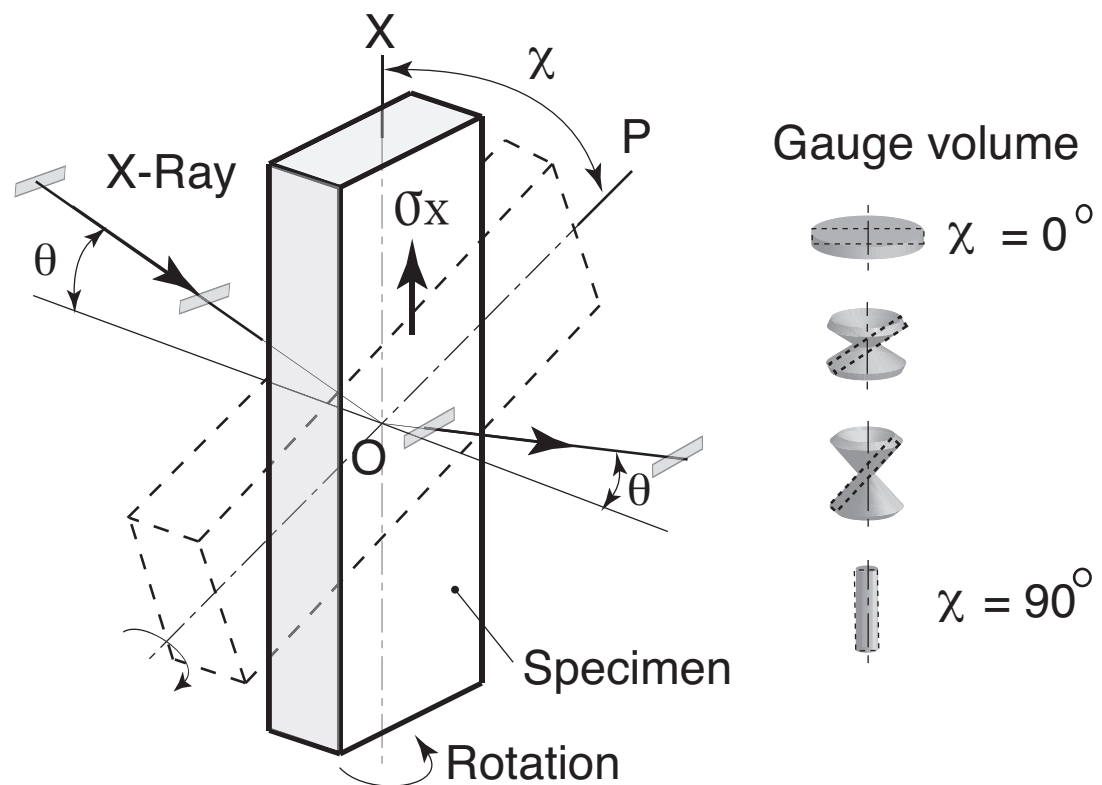
- σ_1 : 第1種応力(巨視的応力)
- σ_2 : 第2種応力(微視的応力)
- σ_3 : 第3種応力(微視的応力)

弹性異方性の大きい材料

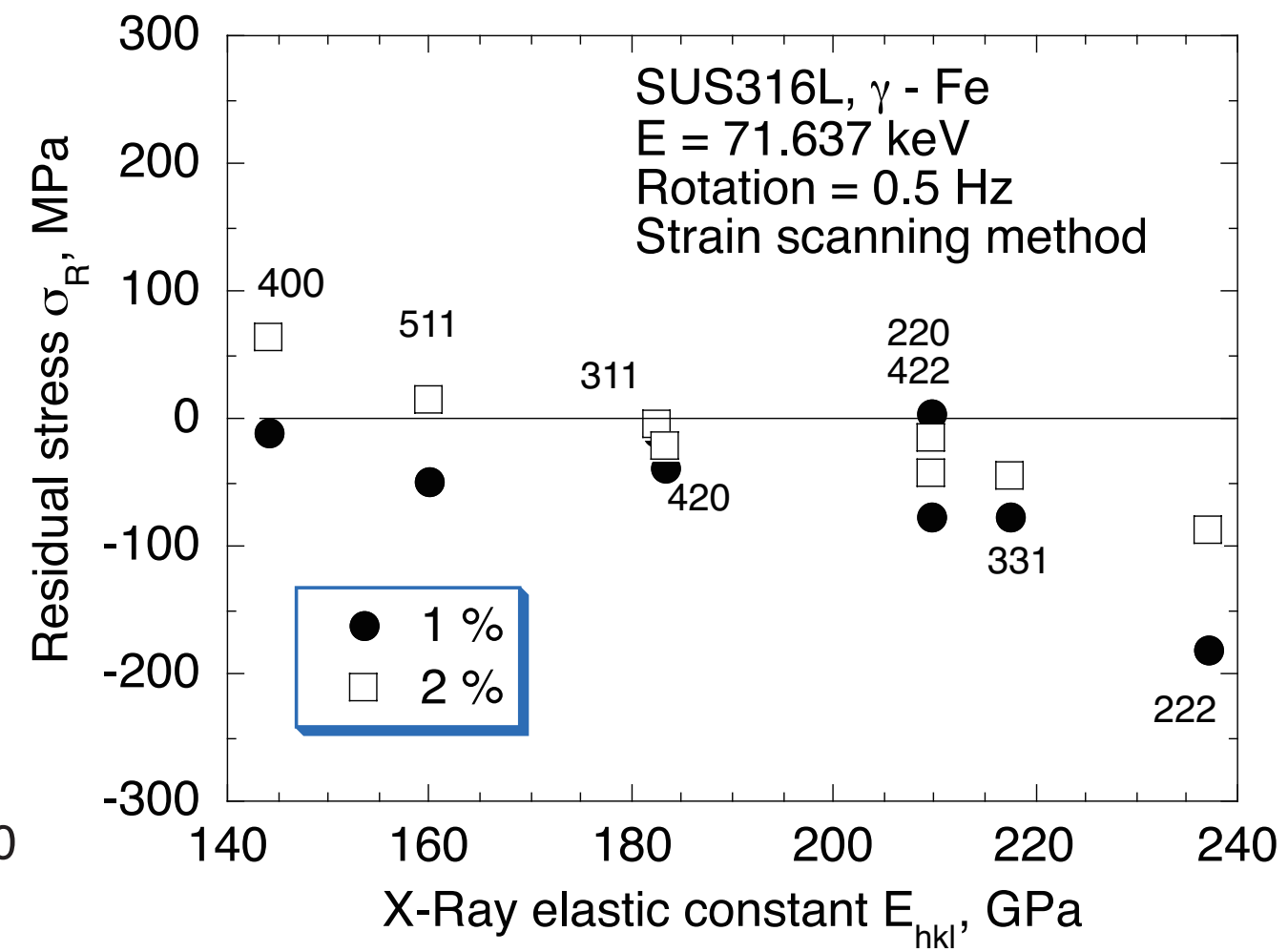
- ・オーステナイト系ステンレス
 - ・Ni基合金
- などは塑性変形に伴い微視的残留応力が生じやすい。



塑性変形による 微視的残留応力



(a) $\cos^2 \chi$ 法



(b) ひずみスキャニング法

弾塑性における異方性, 結晶方位依存性

Applied strain

- Hard
- - - Mechanical
- Soft

Lattice strain

Applied strain

Plastic strain

- 0 + ↑

Applied strain

Plastic strain

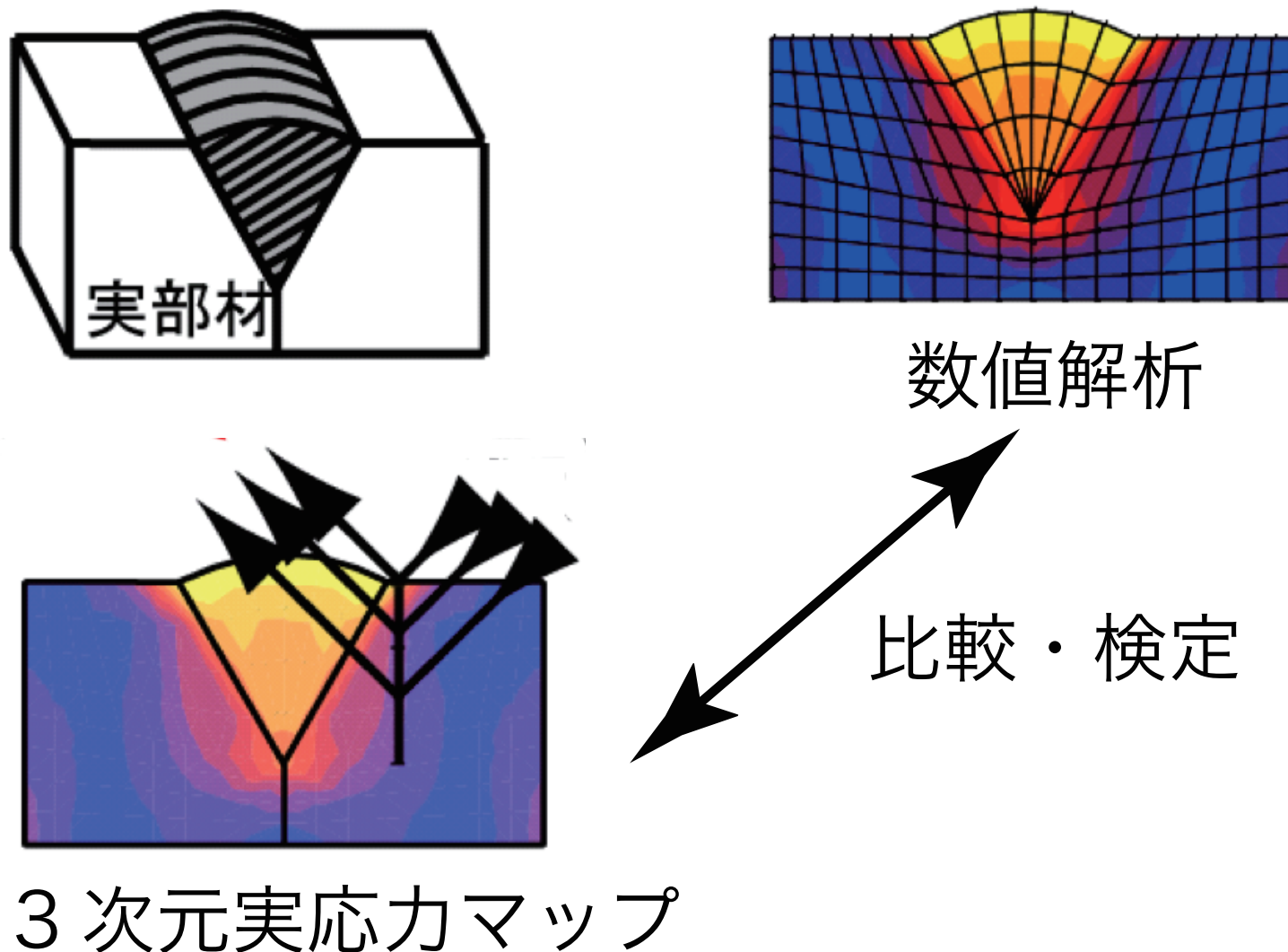
- 0 + Lattice strain

(a) Elastic strain

(b) Small plastic strain

(c) Large plastic strain

3次元応力マップシステムの実現



- 1.正確な初期値、境界条件のデータ
- 2.計算結果と実測データの比較
- 3.構造解析の高信頼性・高度化の実現
- 4.シミュレーションできない連続体を超える問題の実測

EU の産業利用、残留応力用 放射光施設 FaME38

FaME38 aims to provide the extra support required to enable European Engineers to make the best use of neutron and X-ray beam facilities. The 40-month start-up phase of the project is funded by an EPSRC grant of 2.5M Euro that is administered through the University of Salford on behalf of seven collaborating research institutions. Matching on-site support is provided by ILL/ESRF.

[http://www.esrf.eu/news/
pressreleases/FaME38/index.html/](http://www.esrf.eu/news/pressreleases/FaME38/index.html)



The Institut Laue Langevin (ILL) and the European Synchrotron Radiation Facility (ESRF) are respectively the European centres for research using neutron and synchrotron X-ray beams. They share a joint site in Grenoble, France, and provide advanced research facilities for European universities, research institutes and industries.

In 2002 a support Facility for Materials Engineering, FaME38, was inaugurated at the joint ILL-ESRF site. Its aim is to provide the support required to enable European engineers to make the best use of advanced neutron and synchrotron X-ray scientific facilities. FaME38 will develop user-friendly and efficient non-destructive 'strain scanners for engineering components', equivalent to body-scanners now routinely used in medicine.

FaME38 is funded to provide:

- a Technical Centre equipped with a co-ordinate measuring machine (CMM) to determine complex and distorted component shapes,
- facilities to simulate and optimise strain scans off-line before starting measurements on-line,
- a Materials Laboratory with micro-structural characterisation and static-dynamic thermo-mechanical loading equipment,
- a Knowledge and Training Centre to provide technical and scientific know-how.

Academic users are helped to plan experiments, and are assisted with data collection, processing and analysis. Industrial users can be provided with a full measurement and data analysis service as required. The facilities have so far been used mostly in connection with aerospace, fast transport, energy and materials industry research and to determine residual stress fields in critical components, often to validate stress calculation codes.

FaME38 at ILL-ESRF
6 rue Jules Horowitz
BP156
38042 Grenoble Cedex 9
France

Contacts details:
Tel: +33 (0) 476 20 79 44
Fax: +33 (0) 476 20 79 43
E-mail: FaME38@ill.fr or FaME38@esrf.fr
Web: <http://www.ill.fr/FaME38>

Sample digitisation and verification with the high precision CMM

Hardness testing measurements

Slice through 3D virtual model showing the nucleation of a crack. The model is generated using synchrotron radiation tomography at the ESRF (Courtesy P.J. Withers)

European industry requires advanced materials and technologies

SALSA, the next generation engineering instrument at the ILL

Precise digitisation of experimental samples

Improved experimental efficiency by the use of accurate positioning procedures

Simulation of experiments

Sample mounting to a common standard

Tomographic imaging

Texture analysis

Microstructural characterisation

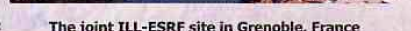
New techniques (contour method, stroboscopy)

Provide expert advice to the ILL-ESRF for development of current and future facilities

Develop improved data analysis methods

Enable engineering research that is not currently feasible

The joint ILL-ESRF site in Grenoble, France



Loughborough Imperial College
University
OF SCIENCE, TECHNOLOGY AND MEDICINE



まとめ

- 「百聞は一見にしかず」のごとく、応力を実測すると思
いもよらない結果やアイディアが見つかることが多い。
- シミュレーションと実測を徹底して進める欧州連合、日
本は如何に。
- SPring-8を使えば、見えなかつたものも見える。
- SPring-8 は、産業利用にもっとも適している。
- より内部また表面は、中性子とラボX線との相補的利用
- 新しい測定法は、技術進歩も早い。